

COMMITTENTE



PROGETTAZIONE



**INFRASTRUTTURE FERROVIARIE STRATEGICHE DEFINITE DALLA
LEGGE OBIETTIVO N. 443/01 e s.m.i**

CUP: J14D20000010001

U.O. PROGETTAZIONE INTEGRATA NORD

PROGETTO DEFINITIVO

**LINEA AV/AC MILANO - VENEZIA
LOTTO FUNZIONALE TRATTA AV/AC VERONA-PADOVA**

NODO AV/AC DI VERONA: INGRESSO EST

Sottopassi Acciaierie di Verona
SL07 - Sottopasso servizi Acciaierie di Verona pk 158+824
Relazione di calcolo

SCALA:

-

COMMESSA LOTTO FASE ENTE TIPO DOC. OPERA/DISCIPLINA Progr. REV.

I N 1 A 2 0 D 2 6 C L S L 0 7 0 0 0 0 1 A

| Rev. | Descrizione | Redatto | Data | Verificato | Data | Approvato | Data | Autorizzato Data |
|------|---------------------|---------|-----------|-----------------|-----------|------------------|-----------|------------------------|
| A | Emissione Esecutiva | V.Reale | Gen. 2022 | M. Rigo | Gen. 2022 | C. Mazzocchi | Gen. 2022 | A. Perego Gen. 2022 |
| | | | | <i>V. Reale</i> | | <i>Mazzocchi</i> | | |
| | | | | | | | | |
| | | | | | | | | |
| | | | | | | | | |

File: IN1A20D26CLSL0700001A

n. Elab.:

INDICE

| | | |
|-------|---|----|
| 1 | PREMESSA..... | 5 |
| 2 | NORMATIVA DI RIFERIMENTO | 6 |
| 3 | MATERIALI..... | 7 |
| 3.1 | CALCESTRUZZO MAGRONE..... | 7 |
| 3.2 | CALCESTRUZZO | 7 |
| 3.3 | ACCIAIO B450C..... | 7 |
| 3.4 | VERIFICA S.L.E..... | 8 |
| 3.4.1 | <i>Verifiche alle tensioni</i> | 8 |
| 3.4.2 | <i>Verifiche a fessurazione</i> | 8 |
| 4 | INQUADRAMENTO GEOTECNICO..... | 10 |
| 4.1 | TERRENO DI RICOPRIMENTO/RINTERRO..... | 10 |
| 4.2 | INTERAZIONE TERRENO-STRUTTURA..... | 10 |
| 5 | CARATTERIZZAZIONE SISMICA | 12 |
| 5.1 | VITA NOMINALE E CLASSE D'USO..... | 12 |
| 5.2 | PARAMETRI DI PERICOLOSITÀ SISMICA..... | 12 |
| 6 | SOFTWARE DI CALCOLO | 14 |
| 6.1 | ORIGINE E CARATTERISTICHE DEI CODICI DI CALCOLO ADOTTATI..... | 14 |
| 6.2 | UNITÀ DI MISURA..... | 14 |
| 6.3 | GRADO DI AFFIDABILITÀ DEL CODICE | 14 |
| 6.4 | VALUTAZIONE DELLA CORRETTEZZA DEL MODELLO..... | 14 |
| 6.5 | CARATTERISTICHE DELL'ELABORAZIONE | 15 |

| | | | | | | |
|---|----------|-------|----------|--------------|------|---------|
| Relazione di calcolo Portale di prolungamento | COMMESSA | LOTTO | CODIFICA | DOCUMENTO | REV. | FOGLIO |
| | IN1A | 20 | D26CL | SL 07 00 001 | A | 3 di 52 |

| | | |
|---------|--|----|
| 6.6 | GIUDIZIO FINALE SULLA ACCETTABILITÀ DEI CALCOLI | 15 |
| 7 | PORTALE | 16 |
| 7.1 | GEOMETRIA | 16 |
| 7.2 | MODELLO DI CALCOLO | 16 |
| 7.3 | ANALISI DEI CARICHI | 18 |
| 7.3.1 | <i>Peso proprio della struttura e carichi permanenti portati</i> | 18 |
| 7.3.2 | <i>Spinta in presenza di falda</i> | 19 |
| 7.3.3 | <i>Spinta sulle pareti dovuta al terreno ed al sovraccarico permanente</i> | 19 |
| 7.3.4 | <i>Treni di carico</i> | 20 |
| 7.3.4.1 | <i>Treno di carico LM71</i> | 20 |
| 7.3.5 | <i>Spinta del terreno indotta dai treni di carico</i> | 22 |
| 7.3.6 | <i>Avviamento e frenatura</i> | 23 |
| 7.3.7 | <i>Serpeggio e centrifuga</i> | 24 |
| 7.3.8 | <i>Ritiro differenziale della soletta di copertura</i> | 24 |
| 7.3.9 | <i>Azione Termica</i> | 27 |
| 7.3.10 | <i>Azione sismica inerziale</i> | 27 |
| 7.3.11 | <i>Spinta sismica terreno</i> | 29 |
| 8 | COMBINAZIONI DI CARICO | 30 |
| 9 | DIAGRAMMI DELLE SOLLECITAZIONI | 34 |
| 10 | VERIFICA DELLE SEZIONI IN C.A. | 38 |
| 10.1 | VERIFICA SOLETTA INFERIORE..... | 39 |
| 10.2 | VERIFICA SOLETTA SUPERIORE | 43 |

Relazione di calcolo Portale di prolungamento

| COMMESSA | LOTTO | CODIFICA | DOCUMENTO | REV. | FOGLIO |
|----------|-------|----------|--------------|------|---------|
| IN1A | 20 | D26CL | SL 07 00 001 | A | 4 di 52 |

| | | |
|------|---|----|
| 10.3 | VERIFICA PIEDRITTI..... | 47 |
| 10.4 | TABELLA RIEPILOGATIVA INCIDENZA FERRI | 52 |
| 11 | VERIFICA FONDAZIONE | 52 |

| | | | | | | |
|---|--|------------------|-------------|-------------------|---------------------------|-----------|
|  | LINEA AV/AC MILANO – VENEZIA LOTTO FUNZIONALE TRATTA AV/AC VERONA-PADOVA NODO AV/AC DI VERONA: INGRESSO EST | | | | | |
| | Relazione di calcolo Portale di prolungamento | COMMESSA IN1A | LOTTO 20 | CODIFICA D26CL | DOCUMENTO SL 07 00 001 | REV. A |

1 PREMESSA

La presente relazione ha per oggetto il dimensionamento e le verifiche di resistenza, secondo il metodo semiprobabilistico agli Stati Limite (S.L.), dei portali nell’ambito del progetto “Nodo Av/Ac Di Verona: Ingresso Est” della linea AV/AC Milano - Venezia.

Le analisi strutturali e le verifiche di sicurezza sono state effettuate secondo il DM 17 gennaio 2018.

L’opera consiste in un portale in c.a. gettato in opera, sito alla pk.158+824.

La sezione trasversale retta ha una larghezza interna di $L_{int} = 4.4$ m ed un'altezza netta di $H_{int} = 4.95$ m; lo spessore della platea di fondazione è di $S_f = 0.9$ m, lo spessore dei piedritti è di $S_p = 0.8$ m e lo spessore della soletta di copertura è di $S_s = 0.8$ m.

Nell'immagine seguente si riporta una sezione trasversale dell'opera.

Quanto riportato di seguito consentirà di verificare che il dimensionamento della struttura è stato effettuato nel rispetto dei requisiti di resistenza richiesti all’opera.

Fig. 1 – Sezione trasversale dell’opera

| | | | | | | |
|---|--|-------------------------|--------------------|--------------------------|----------------------------------|------------------|
|  | LINEA AV/AC MILANO – VENEZIA LOTTO FUNZIONALE TRATTA AV/AC VERONA-PADOVA NODO AV/AC DI VERONA: INGRESSO EST | | | | | |
| | Relazione di calcolo Portale di prolungamento | COMMESSA IN1A | LOTTO 20 | CODIFICA D26CL | DOCUMENTO SL 07 00 001 | REV. A |

2 **NORMATIVA DI RIFERIMENTO**

La progettazione è conforme alle normative vigenti nonché alle istruzioni dell'Ente FF.SS.

La normativa cui viene fatto riferimento nelle fasi di calcolo e progettazione è la seguente:

- Norme Tecniche per le Costruzioni, DM del 17/01/2018;
- Legge 05/01/1971 n°1086: Norme per la disciplina delle opere di conglomerato cementizio armato, normale e precompresso, ed a struttura metallica;
- Legge 02/02/1974 n°64: Provvedimenti per le costruzioni con particolari prescrizioni per le zone sismiche;
- C.M. 21/01/2019 n.7: Istruzioni per l'applicazione delle "Norme tecniche per le costruzioni";
- RFI DTC SI PS MA IFS 001 E: Manuale di progettazione delle opere civili – Parte II – Sezione 2 – Ponti e Strutture;
- RFI DTC SI PS SP IFS 001 E: Capitolato generale tecnico di appalto delle opere civili – Parte II – Sezione 6 – Opere in conglomerato cementizio e in acciaio;
- UNI EN 1991-1-4:2005: Eurocodice 1 – Azioni sulle strutture – Parte 1-4: Azioni in generale – Azioni del vento;
- UNI EN 1992-1-1:2005: Eurocodice 2 – Progettazione delle strutture di calcestruzzo – Parte 1-1: Regole generali e regole per gli edifici;
- UNI EN 1992-2:2006: Eurocodice 2 – Progettazione delle strutture di calcestruzzo – Parte 2: Ponti;
- UNI EN 1993-1-1:2005: Eurocodice 3 – Progettazione delle strutture di acciaio – Parte 1-1: Regole generali e regole per gli edifici;
- UNI EN 1993-2:2007: Eurocodice 3 – Progettazione delle strutture di acciaio – Parte 2: Ponti;
- UNI EN 1998-1:2005: Eurocodice 8 – Progettazione delle struttura per la resistenza sismica – Parte 1: Regole generali, azioni sismiche e regole per gli edifici;
- UNI EN 1998-2:2006: Eurocodice 8 – Progettazione delle struttura per la resistenza sismica – Parte 2: Ponti;
- STI 2014 –Regolamento (UE) N. 1299/2014 della Commissione del 18 novembre 2014 relativo alle specifiche tecniche di interoperabilità per il sottosistema «infrastruttura» del sistema ferroviario dell'Unione europea, modificato dal Regolamento di esecuzione (UE) N° 2019/776 della Commissione del 16 maggio 2019;

| | | | | | | |
|---|----------|-------|----------|--------------|------|---------|
| Relazione di calcolo Portale di prolungamento | COMMESSA | LOTTO | CODIFICA | DOCUMENTO | REV. | FOGLIO |
| | IN1A | 20 | D26CL | SL 07 00 001 | A | 7 di 52 |

3 MATERIALI

Il calcestruzzo adottato corrisponde alla Classe C30/37, mentre l'acciaio in barre ad aderenza migliorata corrisponde alla classe B450C. Di seguito vengono elencate le specifiche.

3.1 Calcestruzzo magrone

Conglomerato classe di resistenza C12/15 – Rck 15MPa

| | |
|---------------------------------------|----------------------------|
| Resistenza caratteristica cubica: | Rck = 15 N/mm ² |
| Resistenza caratteristica cilindrica: | fck = 12 N/mm ² |
| Classe di esposizione: | X0 |
| Classe di consistenza slump: | S3 |

3.2 Calcestruzzo

Conglomerato classe di resistenza C30/37 – Rck 37MPa

Conforme alla UNI EN 206-1

| | |
|--|---------------|
| Classe di esposizione | XC2 |
| Rck (UNI 11104) | ≥ 37 MPa |
| Classe di resistenza (UNI 11104) | C30/37 |
| Tipo cemento | CEM III-V |
| Dimensione max aggregati | 32 mm |
| Classe di consistenza | S4 |
| Copriferro minimo (FS N°I/SC/PS-OM/2298) | 40 mm |

3.3 Acciaio B450C

| | |
|---|------------------------------------|
| Tensione caratteristica di snervamento: | $f_{yk} = 450$ MPa; |
| Tensione di progetto: | $f_{yd} = f_{yk} / \gamma_m$ |
| in cui $\gamma_m = 1.15$ | $f_{yd} = 450 / 1.15 = 391.3$ MPa; |
| Modulo Elastico | $E_s = 210'000$ MPa. |

| | | | | | | |
|--|--|-------------------------|--------------------|--------------------------|----------------------------------|------------------|
|  ITALFERR GRUPPO FERROVIE DELLO STATO ITALIANE | LINEA AV/AC MILANO – VENEZIA LOTTO FUNZIONALE TRATTA AV/AC VERONA-PADOVA NODO AV/AC DI VERONA: INGRESSO EST | | | | | |
| | Relazione di calcolo Portale di prolungamento | COMMESSA IN1A | LOTTO 20 | CODIFICA D26CL | DOCUMENTO SL 07 00 001 | REV. A |

3.4 Verifica S.L.E.

La verifica nei confronti degli Stati limite di esercizio, consiste nel controllare, con riferimento alle sollecitazioni di calcolo corrispondenti alle Combinazioni di Esercizio il tasso di Lavoro nei Materiali e l'ampiezza delle fessure attese, secondo quanto di seguito specificato

3.4.1 Verifiche alle tensioni

La verifica delle tensioni in esercizio consiste nel controllare il rispetto dei limiti tensionali previsti per il calcestruzzo e per l'acciaio per ciascuna delle combinazioni di carico caratteristiche "Rara" e "Quasi Permanente"; i valori tensionali nei materiali sono valutati secondo le note teorie di analisi delle sezioni in c.a. in campo elastico e con calcestruzzo "non reagente" a trazione adottando come limiti di riferimento, trattandosi nel caso in specie di opere Ferroviarie, quelli indicati nel documento "RFI DTC SI MA IFS 001 E - Manuale di Progettazione delle Opere Civili", ovvero:

Strutture in c.a.

Tensioni di compressione del calcestruzzo

Devono essere rispettati i seguenti limiti per le tensioni di compressione nel calcestruzzo:

- per combinazione di carico caratteristica (rara): $0,55 f_{ck}$;
- per combinazioni di carico quasi permanente: $0,40 f_{ck}$;
- per spessori minori di 5 cm, le tensioni normali limite di esercizio sono ridotte del 30%.

Tensioni di trazione nell'acciaio

Per le armature ordinarie, la massima tensione di trazione sotto la combinazione di carico caratteristica (rara) non deve superare $0,75 f_{yk}$

3.4.2 Verifiche a fessurazione

La verifica di fessurazione consiste nel controllare l'ampiezza dell'apertura delle fessure sotto combinazione di carico frequente e combinazione quasi permanente. Essendo la struttura a contatto col terreno si considerano condizioni ambientali aggressive; le armature di acciaio ordinario sono ritenute poco sensibili [NTC – Tabella 4.1.IV]

In relazione all'aggressività ambientale e alla sensibilità dell'acciaio, l'apertura limite delle fessure è riportato nel prospetto seguente:

| | | | | | | |
|--|--|------------------|-------------|-------------------|---------------------------|-----------|
|  ITALFERR GRUPPO FERROVIE DELLO STATO ITALIANE | LINEA AV/AC MILANO – VENEZIA LOTTO FUNZIONALE TRATTA AV/AC VERONA-PADOVA NODO AV/AC DI VERONA: INGRESSO EST | | | | | |
| | Relazione di calcolo Portale di prolungamento | COMMESSA IN1A | LOTTO 20 | CODIFICA D26CL | DOCUMENTO SL 07 00 001 | REV. A |

Tabella 1 – Criteri di scelta dello stato limite di fessurazione e Condizioni Ambientali

| Gruppi di esigenza | Condizioni ambientali | Combinazione di azione | Armatura | | | |
|--------------------|-----------------------|------------------------|--------------------|-----------------|----------------|-----------------|
| | | | Sensibile | | Poco sensibile | |
| | | | Stato limite | wd | Stato limite | wd |
| a | Ordinarie | frequente | ap. fessure | ≤w ₂ | ap. fessure | ≤w ₃ |
| | | quasi permanente | ap. fessure | ≤w ₁ | ap. fessure | ≤w ₂ |
| b | Aggressive | frequente | ap. fessure | ≤w ₁ | ap. fessure | ≤w ₂ |
| | | quasi permanente | decompressione | - | ap. fessure | ≤w ₁ |
| c | Molto Aggressive | frequente | formazione fessure | - | ap. fessure | ≤w ₁ |
| | | quasi permanente | decompressione | - | ap. fessure | ≤w ₁ |

Tabella 4.1.III – Descrizione delle condizioni ambientali

| CONDIZIONI AMBIENTALI | CLASSE DI ESPOSIZIONE |
|-----------------------|-----------------------------------|
| Ordinarie | X0, XC1, XC2, XC3, XF1 |
| Aggressive | XC4, XD1, XS1, XA1, XA2, XF2, XF3 |
| Molto aggressive | XD2, XD3, XS2, XS3, XA3, XF4 |

Risultando:

$$w_1 = 0.2 \text{ mm}$$

$$w_2 = 0.3 \text{ mm}$$

$$w_3 = 0.4 \text{ mm}$$

Alle prescrizioni normative presenti in NTC si sostituiscono in tal caso quelle fornite dal “*Manuale di Progettazione delle Opere Civili*” secondo cui la verifica nei confronti dello stato limite di apertura delle fessure va effettuata utilizzando le sollecitazioni derivanti dalla combinazione caratteristica (rara).

Per strutture in condizioni ambientali aggressive o molto aggressive, qual è il caso delle strutture in esame così come identificate nel par. 4.1.2.2.4.3 del DM 17.1.2018, per tutte le strutture a permanente contatto con il terreno e per le zone non ispezionabili di tutte le strutture, l’apertura convenzionale delle fessure dovrà risultare:

$$- \text{ Combinazione Caratteristica (Rara)} \quad \delta_f \leq w_1 = 0.2 \text{ mm}$$

Riguardo infine il valore di calcolo delle fessure da confrontare con i valori limite fissati dalla norma, si è utilizzata la procedura del D.M. 17.1.2018, in accordo a quanto previsto al punto ” C4.1.2.2.4.6 Verifica allo stato limite di fessurazione” della Circolare n.7/19.

| | | | | | | |
|---|--|------------------|-------------|-------------------|---------------------------|-----------|
|  | LINEA AV/AC MILANO – VENEZIA LOTTO FUNZIONALE TRATTA AV/AC VERONA-PADOVA NODO AV/AC DI VERONA: INGRESSO EST | | | | | |
| | Relazione di calcolo Portale di prolungamento | COMMESSA IN1A | LOTTO 20 | CODIFICA D26CL | DOCUMENTO SL 07 00 001 | REV. A |

4 INQUADRAMENTO GEOTECNICO

4.1 Terreno di ricoprimento/rinterro

Per il terreno di ricoprimento dell'opera sono state assunte le seguenti caratteristiche geotecniche :

| | |
|------------------------------|--------------------------------|
| $\gamma = 20 \text{ kN/m}^3$ | peso di volume naturale |
| $\varphi' = 38^\circ$ | angolo di resistenza al taglio |
| $c' = 0 \text{ kPa}$ | coesione drenata |

4.2 Interazione terreno-struttura

Dalla scheda stratigrafica si desume la stratigrafia di progetto con i relativi parametri caratteristici:

Unità U1:

$$\gamma = 19 \text{ [kN/m}^3\text{]}$$

$$c' = 0 \text{ [kPa]}$$

$$\phi' = 40[^\circ]$$

La falda idrica è considerata a fondo scavo.

Categoria sottosuolo sismica: B

Di seguito sono trattati gli aspetti di natura geotecnica riguardanti l'interazione terreno-struttura relativamente all'opera in esame.

Per la determinazione della costante di sottofondo si può fare riferimento alle seguenti formulazioni assimilando il comportamento del terreno a quello di un mezzo elastico omogeneo (formula di Vesic)

$$k = \frac{0.65 E}{1 - \nu^2} * \sqrt[1.2]{\frac{E b^4}{(E_c J)_{fond}}}$$

dove:

- h = altezza della trave;
- b = dimensione trasversale della trave;
- J = inerzia della trave;
- E_c = modulo di elasticità del calcestruzzo
- ν = coefficiente di Poisson del terreno;
- E = modulo elastico medio del terreno sottostante.

Relazione di calcolo Portale di prolungamento

| COMMESSA | LOTTO | CODIFICA | DOCUMENTO | REV. | FOGLIO |
|----------|-------|----------|--------------|------|----------|
| IN1A | 20 | D26CL | SL 07 00 001 | A | 11 di 52 |

$$\begin{aligned} E &= 32000 \text{ kN/m}^2 \\ n &= 0.3 \\ B &= 3.0 \text{ m} \\ L &= 11.9 \text{ m} \\ L/B &= 3.96 \\ c_t &= 1.59 \\ K_w &= 7384 \text{ kN/m}^3 \end{aligned}$$

Cautelativamente si limita, ai fini del calcolo, il valore della costante di sottofondo a circa 7000 kN/m³.

| | | | | | | |
|---|--|-------------------------|--------------------|--------------------------|----------------------------------|------------------|
|  | LINEA AV/AC MILANO – VENEZIA LOTTO FUNZIONALE TRATTA AV/AC VERONA-PADOVA NODO AV/AC DI VERONA: INGRESSO EST | | | | | |
| | Relazione di calcolo Portale di prolungamento | COMMESSA IN1A | LOTTO 20 | CODIFICA D26CL | DOCUMENTO SL 07 00 001 | REV. A |

5 CARATTERIZZAZIONE SISMICA

Nel seguente paragrafo è riportata la valutazione dei parametri di pericolosità sismica utili alla determinazione delle azioni sismiche di progetto dell'opera cui si riferisce il presente documento, in accordo a quanto specificato a riguardo dal D.M. 17gennaio 2018.

5.1 Vita nominale e classe d'uso

Per la valutazione dei parametri di pericolosità sismica è necessario definire, oltre alla localizzazione geografica del sito, la Vita nominale dell'opera strutturale (V_N), intesa come il numero di anni nel quale la struttura, purché soggetta alla manutenzione ordinaria, deve potere essere usata per lo scopo al quale è destinata, e la Classe d'Uso a cui è associato un coefficiente d'uso (C_U)

Per l'opera in oggetto si considera una vita nominale: $V_N = 50$ anni. Riguardo invece la Classe d'Uso, all' opera in oggetto corrisponde una Classe IV a cui è associato un coefficiente d'uso pari a (NTC – Tabella 2.4.II): $C_U = 2,0$.

I parametri di pericolosità sismica vengono quindi valutate in relazione ad un periodo di riferimento V_R che si ricava per ciascun tipo di costruzione, moltiplicando la vita nominale V_N per il coefficiente d'uso C_U , ovvero:

$$V_R = V_N \cdot C_U$$

Pertanto, per l'opera in oggetto, il periodo di riferimento è pari a $V_R = 50 \times 2,0 = 100$ anni

5.2 Parametri di pericolosità sismica

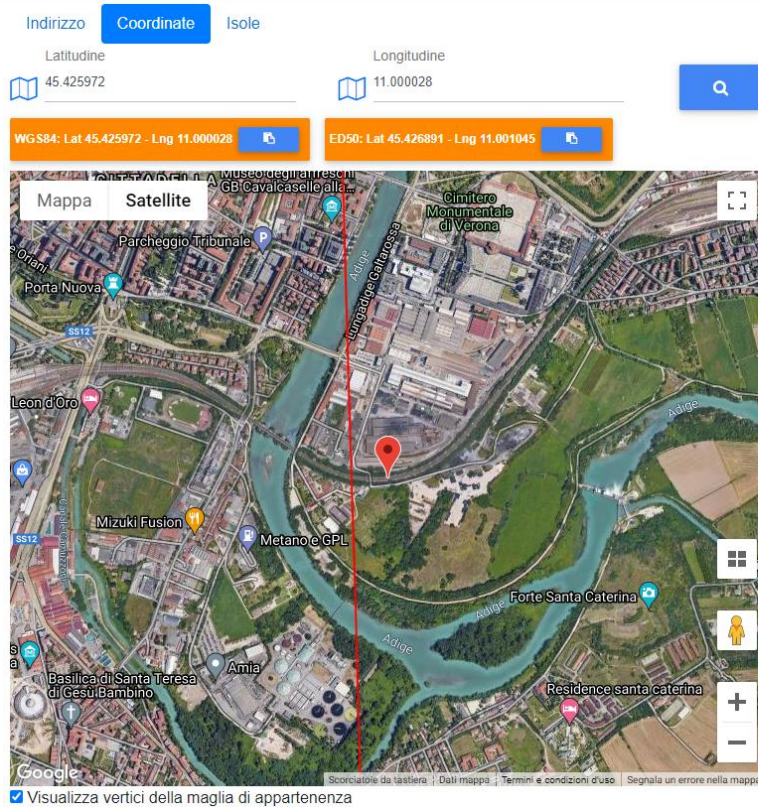
La valutazione dei parametri di pericolosità sismica, che ai sensi del D.M. 17-01-2018, costituiscono il dato base per la determinazione delle azioni sismiche di progetto su una costruzione (forme spettrali e/o forze inerziali) dipendono, come già in parte anticipato in precedenza, dalla localizzazione geografica del sito, dalle caratteristiche della costruzione (Periodo di riferimento per valutazione azione sismica / V_R) oltre che dallo Stato Limite di riferimento/Periodo di ritorno dell'azione sismica.

- Categoria sottosuolo **B**

In accordo a quanto riportato in Allegato A delle Norme Tecniche per le costruzioni DM 17.01.18, si ottiene per il sito in esame:

Relazione di calcolo Portale di prolungamento

| COMMESSA | LOTTO | CODIFICA | DOCUMENTO | REV. | FOGLIO |
|----------|-------|----------|--------------|------|----------|
| IN1A | 20 | D26CL | SL 07 00 001 | A | 13 di 52 |



Stati limite

Classe Edificio

IV. Funzioni pubbliche o strategiche importanti...

Vita Nominale 50

Interpolazione Media ponderata

CU = 2

| Stato Limite | Tr [anni] | a _g [g] | F _o | Tc* [s] |
|----------------------------|-----------|--------------------|----------------|---------|
| Operatività (SLO) | 60 | 0.061 | 2.507 | 0.251 |
| Danno (SLD) | 101 | 0.079 | 2.472 | 0.261 |
| Salvaguardia vita (SLV) | 949 | 0.200 | 2.470 | 0.280 |
| Prevenzione collasso (SLC) | 1950 | 0.261 | 2.403 | 0.287 |

Periodo di riferimento per l'azione sismica: 100

| | | | | |
|---------------------------------|------|------|------|------|
| Cat. Sottosuolo | B | | | |
| Cat. Topografica | T1 | | | |
| | SLO | SLD | SLV | SLC |
| SS Amplificazione stratigrafica | 1,20 | 1,20 | 1,20 | 1,15 |
| CC Coeff. funz categoria | 1,45 | 1,44 | 1,42 | 1,41 |
| ST Amplificazione topografica | 1,00 | 1,00 | 1,00 | 1,00 |

Il calcolo viene eseguito con il metodo pseudo statico, si eseguirà un calcolo elastico assumendo un fattore di struttura unitario. In queste condizioni l'azione sismica è rappresentata da una forza statica equivalente pari al prodotto delle forze di gravità per un opportuno coefficiente sismico.

| | | | | | | |
|---|--|------------------|-------------|-------------------|---------------------------|-----------|
|  | LINEA AV/AC MILANO – VENEZIA LOTTO FUNZIONALE TRATTA AV/AC VERONA-PADOVA NODO AV/AC DI VERONA: INGRESSO EST | | | | | |
| | Relazione di calcolo Portale di prolungamento | COMMESSA IN1A | LOTTO 20 | CODIFICA D26CL | DOCUMENTO SL 07 00 001 | REV. A |

6 SOFTWARE DI CALCOLO

6.1 Origine e caratteristiche dei codici di calcolo adottati

Per le analisi delle strutture è stato utilizzato il Sap 2000 v.14.1 prodotto, distribuito ed assistito da Computers and Structures, Inc.1995 University Ave. Berkeley. Questa procedura è sviluppata in ambiente Windows, permette l'analisi elastica lineare e non di strutture tridimensionali con nodi a sei gradi di libertà utilizzando un solutore ad elementi finiti. Gli elementi considerati sono frame (trave), con eventuali svincoli interni o rotazione attorno al proprio asse. I carichi sono applicati sia ai nodi, come forze o coppie concentrate, sia sulle travi, come forze distribuite, trapezie, concentrate, come coppie e come distorsioni termiche. A supporto del programma è fornito un ampio manuale d'uso contenente fra l'altro una vasta serie di test di validazione sia su esempi classici di Scienza delle Costruzioni, sia su strutture particolarmente impegnative e reperibili nella bibliografia specializzata.

Tale programma fornisce in output, oltre a tutte le caratteristiche geometriche e di carico delle strutture, i risultati relativi alle sollecitazioni indotte nelle sezioni degli elementi presenti.

6.2 Unità di misura

Le unità di misura adottate sono le seguenti:

- lunghezze: m
- forze: kN
- masse: kN massa
- temperature: gradi centigradi
- angoli: gradi sessadecimali o radianti
- si assume l'uguaglianza $1 \text{ kN} = 100 \text{ kg}$

6.3 Grado di affidabilità del codice

L'affidabilità del codice di calcolo e' garantita dall'esistenza di un'ampia documentazione di supporto. E' possibile inoltre ottenere rappresentazioni grafiche di deformate e sollecitazioni della struttura.

6.4 Valutazione della correttezza del modello

Il modello di calcolo adottato e' da ritenersi appropriato in quanto non sono state riscontrate labilità, le reazioni vincolari equilibrano i carichi applicati, la simmetria di carichi e struttura dà origine a sollecitazioni simmetriche.

| | | | | | | |
|---|--|-------------|-------------------|---------------------------|-----------|--------------------|
|  | LINEA AV/AC MILANO – VENEZIA LOTTO FUNZIONALE TRATTA AV/AC VERONA-PADOVA NODO AV/AC DI VERONA: INGRESSO EST | | | | | |
| Relazione di calcolo Portale di prolungamento | COMMESSA IN1A | LOTTO 20 | CODIFICA D26CL | DOCUMENTO SL 07 00 001 | REV. A | FOGLIO 15 di 52 |

6.5 Caratteristiche dell'elaborazione

Tutte le analisi strutturali sono state eseguite su di una workstation dedicata avente le seguenti caratteristiche tecniche:

- Tipo Intel i7
- Memoria centrale 8 Gb;
- Lunghezza in bit della parola 64 bit;
- Memoria di massa 1 Hard disk da 500 Gb.

6.6 Giudizio finale sulla accettabilità dei calcoli

Si ritiene che i risultati ottenuti dalla elaborazione siano accettabili e che le ipotesi poste alla base della formulazione del modello matematico siano valide come dimostrato dal comportamento dei materiali.

All'interno del pacchetto Sap 2000 sono inoltre presente una serie di test per il benchmark del solutore, che consentono di comprovare l'affidabilità del codice di calcolo e paragonare risultati ottenuti con le soluzioni esatte.

7 PORTALE

La sezione trasversale retta ha una larghezza interna di $L_{int} = 4.4$ m ed un'altezza netta di $H_{int} = 4.95$ m; lo spessore della platea di fondazione è di $S_f = 0.9$ m, lo spessore dei piedritti è di $S_p = 0.8$ m e lo spessore della soletta di copertura è di $S_s = 0.8$ m.

Nel seguito verrà esaminata una striscia di portale avente lunghezza di 1.00 m.

7.1 Geometria

| DATI GEOMETRICI | | | |
|-------------------------------|------------|--------|------|
| Grandezza | Simbolo | Valore | U.M. |
| larghezza totale portale | L_{tot} | 6.00 | m |
| larghezza utile portale | L_{int} | 4.40 | m |
| larghezza interasse | L_a | 5.20 | m |
| spessore soletta superiore | S_s | 0.80 | m |
| spessore piedritti | S_p | 0.80 | m |
| spessore fondazione | S_f | 0.90 | m |
| altezza totale portale | H_{tot} | 6.65 | m |
| altezza libera portale | H_{int} | 4.95 | m |
| | | | m |
| spessore ballast | H_{Psup} | 0.80 | m |
| ricoprimento | H_{Rsup} | 3.00 | m |
| spessore pacchetto esterno | H_{Pinf} | 0.00 | m |
| spessore ricoprimento esterno | H_{Rinf} | 8.75 | m |

7.2 Modello di calcolo

Il modello di calcolo attraverso il quale è schematizzata la struttura è quello del telaio chiuso su letto di molle alla Winkler.

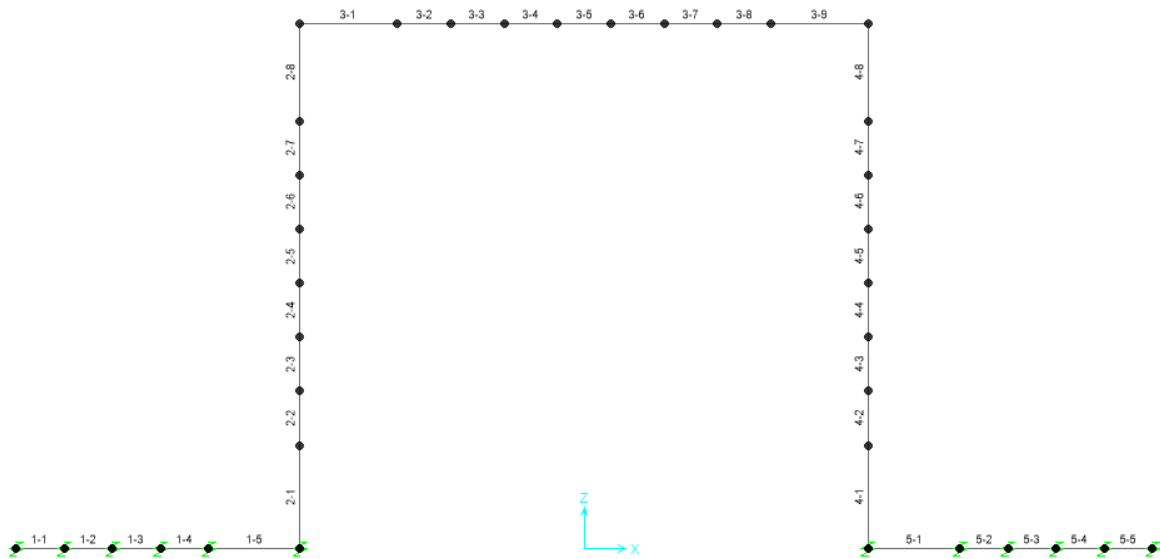
Il modello considerato per l'analisi è quello di un telaio di profondità unitaria (1.00m) soggetto alle azioni da traffico di norma e quelle permanenti. In corrispondenza dei vertici del portale sono state inserite delle zone rigide pari a metà spessore degli elementi.

Relazione di calcolo Portale di prolungamento

| COMMESSA | LOTTO | CODIFICA | DOCUMENTO | REV. | FOGLIO |
|----------|-------|----------|--------------|------|----------|
| IN1A | 20 | D26CL | SL 07 00 001 | A | 17 di 52 |

Il terreno di fondazione è stato modellato utilizzando la schematizzazione alla Winkler con un opportuno coefficiente di sottofondo.

Di seguito si riporta lo schema di calcolo.

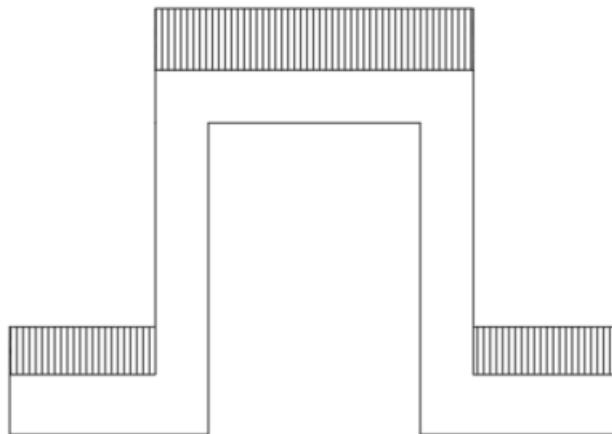


Numerazioni aste

7.3 Analisi dei carichi

7.3.1 Peso proprio della struttura e carichi permanenti portati

| | | |
|--------------------------|-------------------------------------|--------------------|
| <u>Soletta superiore</u> | - Peso proprio | 20.00 kN/m |
| | - Totale | 20.00 kN/m |
| | - Peso Ballast | 14.40 kN/m |
| | - Peso ricoprimento ... 300 cm | 60.00 kN/m |
| | - Totale | 74.40 kN/m |
| <u>Soletta inferiore</u> | - Peso proprio | 22.50 kN/m |
| | - Totale | 22.50 kN/m |
| | - Peso pacchetto interno 0 cm | 0.00 kN/m |
| | - Peso terreno ricoprimento esterno | 175.00 kN/m |
| | - Totale | 175.00 kN/m |
| <u>Piedritti</u> | - Peso proprio | 20.00 kN/m |
| | - Totale | 20.00 kN/m |



Per tenere in conto dei carichi agenti sul semispessore degli elementi considerati nel modello di calcolo, si applicano delle forze concentrate nei nodi tra soletta superiore e piedritti con valore pari a 29.8 kN.

| | | | | | | |
|---|----------|-------|----------|--------------|------|----------|
| Relazione di calcolo Portale di prolungamento | COMMESSA | LOTTO | CODIFICA | DOCUMENTO | REV. | FOGLIO |
| | IN1A | 20 | D26CL | SL 07 00 001 | A | 19 di 52 |

7.3.2 Spinta in presenza di falda

Nel caso in cui a monte della parete sia presente la falda il diagramma delle pressioni sulla parete risulta modificato a causa della sottospinta che l'acqua esercita sul terreno. Il peso di volume del terreno al di sopra della linea di falda non subisce variazioni. Viceversa al di sotto del livello di falda va considerato il peso di volume di galleggiamento

$$\gamma_a = \gamma_{\text{sat}} - \gamma_w$$

dove γ_{sat} è il peso di volume saturo del terreno (dipendente dall'indice dei pori) e γ_w è il peso di volume dell'acqua. Quindi il diagramma delle pressioni al di sotto della linea di falda ha una pendenza minore. Al diagramma così ottenuto va sommato il diagramma triangolare legato alla pressione idrostatica esercitata dall'acqua.

$$u = \gamma_w \cdot z$$

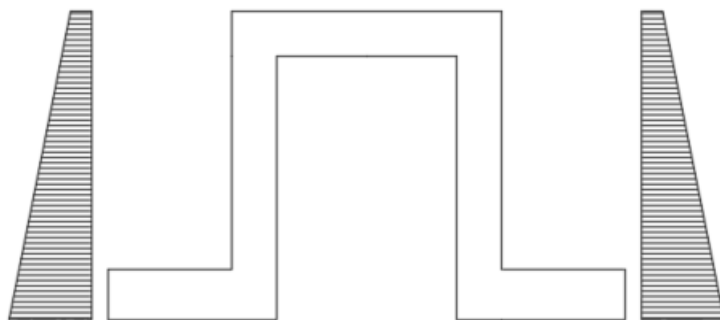
L'opera non è interessata dalla falda.

7.3.3 Spinta sulle pareti dovuta al terreno ed al sovraccarico permanente

Per il rinterro si prevede un terreno avente angolo di attrito $\phi = 38^\circ$ ed un peso di volume $\gamma = 20 \text{ kN/m}^3$, il coefficiente di spinta viene calcolato, considerando l'elevata rigidità del portale, utilizzando la formula $K_o = 1 - \sin\phi'$, per cui si ottiene un valore di $K_o = 0.38$. Le spinte in asse soletta superiore ed asse soletta inferiore valgono:

$$p_{ss} = K_o \cdot (H_r + H_{p\text{sup}} + S_s/2) \cdot \gamma = 32.3 \text{ kN/m}$$

$$p_{is} = p_{ss} + K_o \cdot \gamma \cdot (S_s/2 + H_{\text{int}} + S_f/2) = 76.9 \text{ kN/m}$$



Per tenere in conto dei carichi agenti sul semispessore degli elementi considerati nel modello di calcolo, si applicano delle forze concentrate nei nodi tra piedritto e soletta superiore con valore pari a 12.3 kN ed inferiore con valore pari a 35.4 kN.

7.3.4 Treni di carico

7.3.4.1 Treno di carico LM71

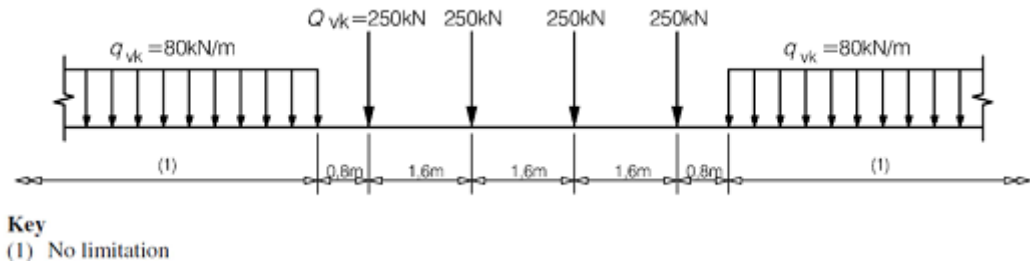


Fig. 2 –Load model 71 (al punto 6.3.2. della norma EN 1991-2:2003)

α = coefficiente di adattamento = 1.10

Per il calcolo del coefficiente dinamico Φ si fa riferimento al “*Manuale di Progettazione delle Opere Civili*”
Considerando un ridotto standard manutentivo si ha:

$$L_{\Phi} = 1.3 * [(1/3) * (2 * H_{tot} + L_{tot})] = 7.84 \text{ m}$$

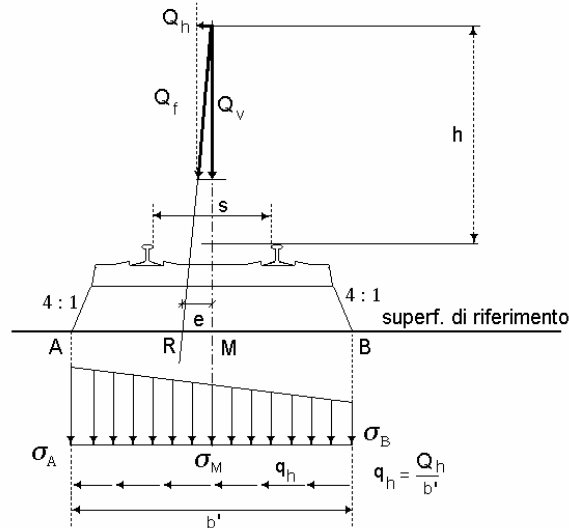
$$\Phi_3 = [2.16 / (L_{\Phi}^{0.5} - 0.2)] + 0.73 = 1.00$$

“Per le strutture dotate di una copertura maggiore di 2.50 m può assumersi un coefficiente di incremento dinamico unitario.” *MdP sez.III cap.3.12.1.2.2.*

Si considera la presenza di due treni; la distanza tra i binari è pari a 4,0m.

Il sovraccarico ferroviario si diffonde attraverso il ballast con pendenza 4:1, poi nel ricoprimento con pendenza a 38° (pari all’angolo di attrito del ricoprimento) e con la pendenza a 45° all’interno del cls per cui la lunghezza di diffusione del carico in senso trasversale all’asse binario risulta pari a:

$$L_{trasv} = 4 + 2.4 + [0.35/4 + H_{rsup} * \tan(38^\circ) + S_s/2] * 2 = 12.06 \text{ m}$$



In senso longitudinale si è assunto che il carico si distribuisce su una lunghezza pari a $L_{long} = (0.8 + 3 * 1.6 + 0.8) m = 6.40 m$.

Pertanto il carico ripartito dovuto ai treni LM 71 risulta:

- Carico ripartito prodotto dalle forze concentrate

$$= 2 * 4 * 250 * 1.1 * \Phi_3 / (L_{trasv} * L_{long}) = 28.50 \text{ kN/m}^2$$

- Carico ripartito prodotto dal carico distribuito (80 kN/m²)

$$= 2 * 80 * 1.1 * \Phi_3 / L_{trasv} = 14.59 \text{ kN/m}^2$$

Per il treno SW/2 si otterrebbe:

$$Q_{sw/2} = 2 * 150 * 1.0 * \Phi_3 / L_{trasv} = 24.87 \text{ kN/m}^2$$

Pertanto il treno LM 71 risulta più gravoso.

Le distribuzioni del sovraccarico ferroviario considerate al di sopra della copertura, sono quelle in grado di massimizzare le sollecitazioni flettenti e taglianti.

Per tenere in conto i carichi agenti sul semispessore degli elementi considerati nel modello di calcolo, si applicano delle forze concentrate nei nodi tra soletta superiore e piedritti con valore pari a 11.4 kN.

| | | | | | | |
|---|--|-------------------------|--------------------|--------------------------|----------------------------------|------------------|
|  | LINEA AV/AC MILANO – VENEZIA LOTTO FUNZIONALE TRATTA AV/AC VERONA-PADOVA NODO AV/AC DI VERONA: INGRESSO EST | | | | | |
| | Relazione di calcolo Portale di prolungamento | COMMESSA IN1A | LOTTO 20 | CODIFICA D26CL | DOCUMENTO SL 07 00 001 | REV. A |

Di seguito, si effettua la valutazione del carico equivalente previsto dalle Specifiche Tecniche di Interoperabilità con cui si dà evidenza che le opere appartenenti alla tratta in esame sono idonee a sostenere tale carico.

7.3.5 Spinta del terreno indotta dai treni di carico

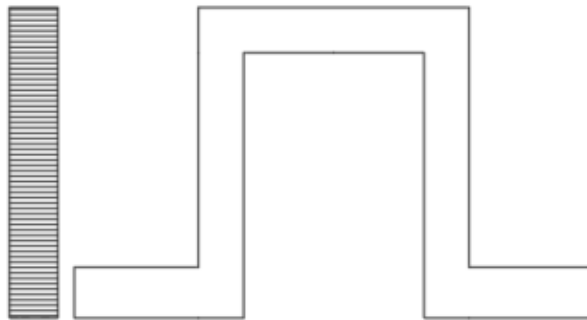
Per il rinterro si prevede un terreno avente angolo di attrito $\varphi = 38^\circ$ ed un peso di volume $\gamma = 20 \text{ kN/m}^3$, il coefficiente di spinta viene calcolato, considerando l'elevata rigidità del portale, utilizzando la formula $K_0 = 1 - \sin\varphi$, per cui si ottiene un valore di $K_0 = 0.38$. La pressione del terreno sui piedritti ed indotta dai treni di carico viaggianti su due linee adiacenti verrà calcolata secondo la formula $P = q * K_0$

Si è considerata la sola spinta prodotta dal carico ripartito equivalente alle forze concentrate (vedi considerazioni di cui al paragrafo precedente)

$$q * K_0 = 10.95 \text{ kN/m}^2$$

La spinta del terreno viene analizzata in due diverse condizioni:

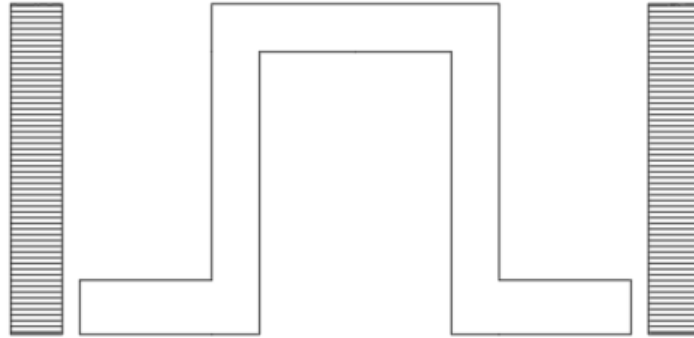
- a) Spinta sul piedritto sinistro



Per tenere in conto dei carichi agenti sul semispessore degli elementi considerati nel modello di calcolo, si applicano delle forze concentrate nei nodi tra piedritto sinistro e soletta superiore con valore pari a 4.4 kN ed inferiore con valore pari a 4.9 kN.

| | | | | | | |
|---|----------|-------|----------|--------------|------|----------|
| Relazione di calcolo Portale di prolungamento | COMMESSA | LOTTO | CODIFICA | DOCUMENTO | REV. | FOGLIO |
| | IN1A | 20 | D26CL | SL 07 00 001 | A | 23 di 52 |

b) Spinta su entrambi i piedritti



Per tenere in conto dei carichi agenti sul semispessore degli elementi considerati nel modello di calcolo, si applicano delle forze concentrate nei nodi tra piedritto sinistro e soletta superiore con valore pari a 4.4 kN ed inferiore con valore pari a 4.9 kN.

7.3.6 Avviamento e frenatura

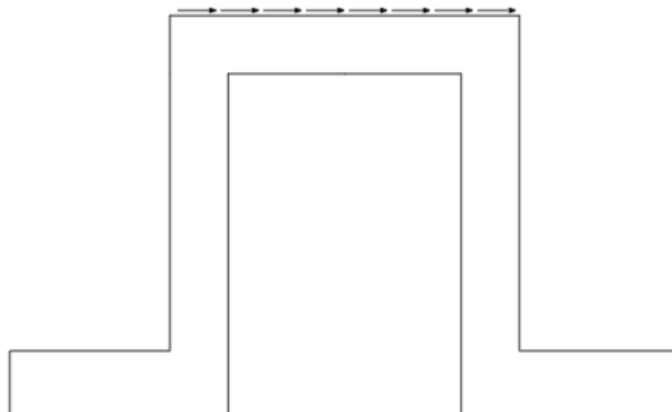
avviamento: $Q_{lak} = 33 \text{ [kN/m]} * L[\text{m}] < 1000 \text{ kN}$ per modelli di carico LM 71 e SW/0 e SW/2

frenatura: $Q_{ibk} = 20 \text{ [kN/m]} * L[\text{m}] < 6000 \text{ kN}$ per modelli di carico LM 71 e SW/0

$Q_{ibk} = 35 \text{ [kN/m]} * L[\text{m}]$ per modelli di carico SW/2

La forza di frenatura, per metro lineare, applicata alla soletta di copertura si ritiene uniformemente agente sulla larghezza ottenuta per diffusione dei carichi verticali sino al baricentro della soletta e vale:

$$F = 2 (\alpha \cdot Q_{lak} / L_{\text{trasv}}) = 6.0 \text{ kN/m}$$



| | | | | | | |
|---|--|-------------|-------------------|---------------------------|-----------|--------------------|
|  | LINEA AV/AC MILANO – VENEZIA LOTTO FUNZIONALE TRATTA AV/AC VERONA-PADOVA NODO AV/AC DI VERONA: INGRESSO EST | | | | | |
| Relazione di calcolo Portale di prolungamento | COMMESSA IN1A | LOTTO 20 | CODIFICA D26CL | DOCUMENTO SL 07 00 001 | REV. A | FOGLIO 24 di 52 |

Per tenere in conto dei carichi agenti sul semispessore degli elementi considerati nel modello di calcolo, si applicano delle forze concentrate nei nodi tra piedritti e soletta superiore con valore pari a 2.4 kN.

7.3.7 *Serpeggio e centrifuga*

Tali carichi vengono trascurati perché non determinanti per il dimensionamento trasversale dell'opera.

7.3.8 *Ritiro differenziale della soletta di copertura*

Si considera una variazione termica uniforme equivalente sulla soletta superiore come da calcolo seguente. Il calcolo viene condotto secondo le indicazioni dell'EUROCODICE 2-UNI EN1992-1-1 Novembre 2005 e DM 17-01-2018.

Relazione di calcolo Portale di prolungamento

| COMMESSA | LOTTO | CODIFICA | DOCUMENTO | REV. | FOGLIO |
|----------|-------|----------|--------------|------|----------|
| IN1A | 20 | D26CL | SL 07 00 001 | A | 25 di 52 |

ClS a t=0

| | | | | |
|----------|---|---------|-------------------|---|
| R_{ck} | = | 37 | N/mm ² | Resistenza a compressione cubica caratteristica |
| f_{ck} | = | 30.71 | N/mm ² | Resistenza a compressione cilindrica caratteristica |
| f_{cm} | = | 38.71 | N/mm ² | Resistenza a compressione cilindrica media |
| α | = | 1.0E-05 | | |
| E_{cm} | = | 33019 | N/mm ² | Modulo elastico secante medio |

Tempo e ambiente

| | | | | |
|--------------|---|--------|-----------------|--|
| t_s | = | 2 | gg | età del calcestruzzo in giorni, all'inizio del ritiro per essiccamento |
| t_0 | = | 2 | gg | età del calcestruzzo in giorni al momento del carico |
| t | = | 25550 | gg | età del calcestruzzo in giorni |
| $h_0=2A_c/u$ | = | 1600 | mm | dimensione fittizia dell'elemento di cls |
| A_c | = | 800000 | mm ² | sezione dell'elemento |
| u | = | 1000 | mm | perimetro a contatto con l'atmosfera |
| RH | = | 75 | % | umidità relativa percentuale |

Coefficiente di viscosità ϕ (t, t_0) e modulo elastico EC_t a tempo "t"

$$\phi(t, t_0) = \phi_0 \beta_c(t, t_0) = 1.982$$

$$\phi_0 = \phi RH \beta_c(f_{cm}) \beta_c(t_0) = 131.52 \text{ coeff nominale di viscosità}$$

$$\phi_{RH} = 1 + \left[\frac{1 - RH/100}{0.1 \sqrt[3]{h_0}} \alpha_1 \right] \alpha_2 = 1.195 \text{ coeff che tiene conto dell'umidità}$$

$$\alpha_1 = \begin{cases} (35/f_{cm})^{0.7} & \text{per } f_{cm} > 35MPa \\ 1 & \text{per } f_{cm} \leq 35MPa \end{cases} = 0.932 \text{ coeff per la resistenza del cls}$$

$$\alpha_2 = \begin{cases} (35/f_{cm})^{0.2} & \text{per } f_{cm} > 35MPa \\ 1 & \text{per } f_{cm} \leq 35MPa \end{cases} = 0.980 \text{ coeff per la resistenza del cls}$$

$$\beta_c(f_{cm}) = \frac{16.8}{\sqrt{f_{cm}}} = 2.700 \text{ coeff che tiene conto della resistenza del cls}$$

$$\beta_c(t_0) = \frac{1}{(0.1 + t_0^{0.20})} = 0.649 \text{ coeff. per l'evoluzione della viscosità nel tempo}$$

$$t_o = t_0 \left(\frac{9}{2 + t_0^{1.2}} + 1 \right)^\alpha \geq 0.5 = 6.19 \text{ coeff. per la variabilità della viscosità nel tempo}$$

$$\alpha = 1 \text{ coeff per il tipo di cemento (-1 per classe S, 0 per classe N, 1 per classe R)}$$

$$\beta_c(t, t_0) = \left[\frac{(t - t_0)}{(\beta_H + t - t_0)} \right]^{0.3} = 0.984 \text{ coeff per la variabilità della viscosità nel tempo}$$

$$\beta_H = 1.5[1 + (0.012 RH)^{18}] h_0 + 250\alpha_3 \leq 1500\alpha_3 = 1382.5 \text{ coeff che tiene conto dell'umidità relativa}$$

$$\alpha_3 = \begin{cases} (35/f_{cm})^{0.5} & \text{per } f_{cm} > 35MPa \\ 1 & \text{per } f_{cm} \leq 35MPa \end{cases} = 0.951 \text{ coeff per la resistenza del calcestruzzo}$$

Relazione di calcolo Portale di prolungamento

| | | | | | |
|----------|-------|----------|--------------|------|----------|
| COMMESSA | LOTTO | CODIFICA | DOCUMENTO | REV. | FOGLIO |
| IN1A | 20 | D26CL | SL 07 00 001 | A | 26 di 52 |

Il modulo elastico a tempo "t" è pari a:

$$E_{cm}(t, t_0) = \frac{E_{cm}}{1 + \varphi(t, t_0)} = 11072916 \text{ kN/m}^2$$

Deformazioni di ritiro

$$\varepsilon_s(t, t_0) = \varepsilon_{cd}(t) + \varepsilon_{ca}(t) = 0.000324 \text{ deformazione di ritiro } \varepsilon(t, t_0)$$

$$\varepsilon_{cd}(t) = \beta_{ds}(t, t_s) K_b \varepsilon_{cd,0} = 0.000272 \text{ deformazione al ritiro per essiccamento}$$

$$\beta_{ds}(t, t_s) = \left[\frac{(t - t_s)}{(t - t_s) + 0.04 \sqrt{h_0^3}} \right] = 0.908923$$

$K_b =$

0.7 parametro che dipende da h_0 secondo il prospetto seguente

Valori di k_b

| h_0 | k_b |
|-------|-------|
| 100 | 1,0 |
| 200 | 0,85 |
| 300 | 0,75 |
| ≥500 | 0,70 |

Valori di K_b intermedi a quelli del prospetto vengono calcolati tramite interpolazione lineare

$$\varepsilon_{cd,0} = 0.85 \left[(200 + 100 \alpha_{ds1}) \exp(-\alpha_{ds2} \frac{f_{cm}}{f_{cm0}}) \right] 10^{-6} \beta_{RH} = 0.000428 \text{ deformazione di base}$$

$$\beta_{RH} = 1.55 \left[1 - \left(\frac{RH}{RH0} \right)^3 \right] = 0.896094$$

$$f_{cm0} = 10 \text{ Mpa}$$

$$RH0 = 100 \%$$

$$\alpha_{ds1} = 6 \text{ coeff per il tipo di cemento (3 per classe S, 4 per classe N, 6 per classe R)}$$

$$\alpha_{ds2} = 0.11 \text{ coeff per il tipo di cemento (0.13 per classe S, 0.12 per classe N, 0.11 per classe R)}$$

$$\varepsilon_{ca}(t) = \beta_{ds}(t) \varepsilon_{ca,00} = 0.000052 \text{ deformazione dovuta al ritiro autogeno}$$

$$\beta_{ds}(t) = 1 - \exp(-0.2t^{0.5}) = 1$$

$$\varepsilon_{ca,00} = 2.5(f_{ck} - 10)10^{-6} = 0.000052$$

Variazione termica uniforme equivalente agli effetti del ritiro:

$$\Delta T_{\text{ritiro}} = - \frac{\varepsilon_s(t, t_0) E_{cm}}{(1 + \varphi(t, t_0)) E_{cm} \alpha} = -10.87 \text{ } ^\circ\text{C}$$

I fenomeni di ritiro vengono considerati agenti solo sulla soletta di copertura

| | | | | | | |
|--|--|-------------------------|--------------------|--------------------------|----------------------------------|------------------|
|  ITALFERR GRUPPO FERROVIE DELLO STATO ITALIANE | LINEA AV/AC MILANO – VENEZIA LOTTO FUNZIONALE TRATTA AV/AC VERONA-PADOVA NODO AV/AC DI VERONA: INGRESSO EST | | | | | |
| | Relazione di calcolo Portale di prolungamento | COMMESSA IN1A | LOTTO 20 | CODIFICA D26CL | DOCUMENTO SL 07 00 001 | REV. A |

7.3.9 Azione Termica

“Nei sottovia interrati con ricoprimento maggiore di 1,5 m (intendendo per ricoprimento la distanza piano ferro – estradosso opera), possono essere trascurati anche gli effetti dovuti alle variazioni termiche.” MdP sez.III cap.3.12.1.2.2.

7.3.10 Azione sismica inerziale

Per il calcolo dell'azione sismica si utilizza il metodo dell'analisi pseudostatica in cui l'azione sismica è rappresentata da una forza statica equivalente pari al prodotto delle forze di gravità per un opportuno coefficiente sismico k . Le forze sismiche sono pertanto le seguenti:

Forza sismica orizzontale $F_h = k_h * W$

Forza sismica verticale $F_v = k_v * W$

I valori dei coefficienti sismici orizzontale k_h e verticale k_v possono essere valutati mediante le espressioni: $k_h = a_{max}/g$

$k_v = \pm 0.5 * k_h$

Con riferimento alla nuova classificazione sismica del territorio nazionale ai fini del calcolo dell'azione sismica secondo il DM 17/01/2018 viene assegnata all'opera una vita nominale $V_N \geq 50$ anni ed una classe d'uso **IV** $C_u = 2,0$; segue un periodo di riferimento $V_R = V_N * C_u = 100$ anni

A seguito di tale assunzione si ottiene allo stato limite ultimo SLV in funzione della Latitudine e Longitudine del sito in esame un valore dell'accelerazione pari a $a_g = 0.200$ g.

In assenza di analisi specifiche della risposta sismica locale l'accelerazione massima può essere valutata con la relazione:

$$a_{max} = S * a = S_s * S_t * a_g$$

dove assumendo un terreno di tipo **B** ed in base al fattore di amplificazione del sito si ottiene:

$S_s = 1.20$ Coefficiente di amplificazione stratigrafica

$S_T = 1$ Coefficiente di amplificazione topografica

ne deriva che:

| | | | | | | |
|---|----------|-------|----------|--------------|------|----------|
| Relazione di calcolo Portale di prolungamento | COMMESSA | LOTTO | CODIFICA | DOCUMENTO | REV. | FOGLIO |
| | IN1A | 20 | D26CL | SL 07 00 001 | A | 28 di 52 |

$$a_{\max} = 1.2 * 1 * 0.20 \text{ g} = 0.24 \text{ g}$$

$$k_h = a_{\max}/g = 0.24$$

$$k_v = \pm 0.5 * k_h = 0.12$$

Sisma orizzontale

| | | | | |
|---|---|--------------|-------------|----------------------------------|
| $F_{\text{sis}} = a_{\max} * \gamma * (H_{\text{tot}})$ | = | 31.92 | kN/m | (carico applicato sulla parete) |
| $F_{\text{inp}} = \alpha * S_p * \gamma * 1\text{m}$ | = | 4.80 | kN/m | (inerzia piedritti) |
| Totale | = | 36.72 | kN/m | (piedritto sx) |
| Totale | = | 4.80 | kN/m | (piedritto dx) |
| $F_Q = \alpha * Q_v * 0.2 * 1\text{m}$ | = | 1.37 | kN/m | (inerzia treno) |
| $F_{\text{inr}} = \alpha * (H_p + H_r) * \gamma_r * 1\text{m}$ | = | 17.86 | kN/m | (inerzia ballast + ricoprimento) |
| $F_{\text{ins}} = \alpha * S_s * \gamma_{\text{cls}} * 1\text{m}$ | = | 4.80 | kN/m | (inerzia soletta superiore) |
| Totale | = | 24.02 | kN/m | (soletta superiore) |

Per tenere in conto dei carichi agenti sul semispessore degli elementi considerati nel modello di calcolo, si applicano delle forze concentrate nei nodi tra piedritto sinistro e soletta superiore con valore pari a 14.7 kN ed inferiore con valore pari a 16.5 kN. Si applicano delle forze concentrate nei nodi tra piedritto destro e soletta superiore con valore pari a 1.9 kN ed inferiore con valore pari a 2.2 kN.

Sisma verticale

| | | | | |
|---|---|--------------|-------------|----------------------------------|
| $F_{\text{inp}} = 0.5 * \alpha * S_p * \gamma * 1\text{m}$ | = | 2.40 | kN/m | (inerzia piedritti) |
| $F_Q = 0.5 * \alpha * Q_v * 0.2 * 1\text{m}$ | = | 0.68 | kN/m | (inerzia treno) |
| $F_{\text{inr}} = 0.5 * \alpha * (H_p + H_r) * \gamma_r * 1\text{m}$ | = | 8.93 | kN/m | (inerzia ballast + ricoprimento) |
| $F_{\text{ins}} = 0.5 * \alpha * S_s * \gamma_{\text{cls}} * 1\text{m}$ | = | 2.40 | kN/m | (inerzia soletta superiore) |
| Totale | = | 12.01 | kN/m | (soletta superiore) |

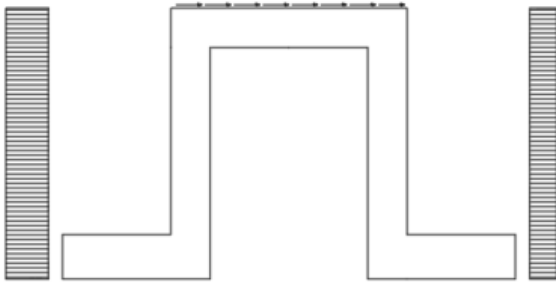
Per tenere in conto le carichi agenti sul semispessore degli elementi considerati nel modello di calcolo, si applicano delle forze concentrate nei nodi tra soletta superiore e piedritti con valore pari a 4.8 kN.

Gli effetti dell'azione sismica saranno valutati tenendo conto delle masse associate ai seguenti carichi gravitazionali: $G_1 + G_2 + \psi_{2j} Q_{kj}$

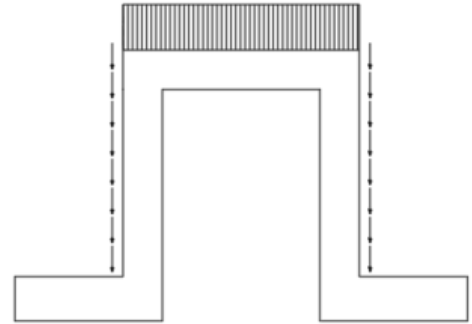
Relazione di calcolo Portale di prolungamento

| COMMESSA | LOTTO | CODIFICA | DOCUMENTO | REV. | FOGLIO |
|----------|-------|----------|--------------|------|----------|
| IN1A | 20 | D26CL | SL 07 00 001 | A | 29 di 52 |

SISMA ORIZZONTALE



SISMA VERTICALE



7.3.11 Spinta sismica terreno

Le spinte delle terre potranno essere determinate secondo la teoria di Wood, secondo la quale la risultante dell'incremento di spinta per effetto del sisma su una parete di altezza H viene determinato con la seguente espressione:

$$\Delta S_E = (a_{\max}/g) * \gamma * H_{\text{tot}}^2 = 212.2 \text{ kN/m}$$

Tale risultante applicata ad un'altezza pari ad $H_{\text{tot}}/2$.sarà considerata agente su uno solo dei piedritti dell'opera.

| | | | | | | |
|---|--|-------------------------|--------------------|--------------------------|----------------------------------|------------------|
|  | LINEA AV/AC MILANO – VENEZIA LOTTO FUNZIONALE TRATTA AV/AC VERONA-PADOVA NODO AV/AC DI VERONA: INGRESSO EST | | | | | |
| | Relazione di calcolo Portale di prolungamento | COMMESSA IN1A | LOTTO 20 | CODIFICA D26CL | DOCUMENTO SL 07 00 001 | REV. A |

8 COMBINAZIONI DI CARICO

Ai fini delle verifiche degli stati limite si è fatto riferimento alle seguenti combinazioni delle azioni.

Combinazione fondamentale, generalmente impiegata per gli stati limite ultimi (SLU):

$$\gamma_{G1} \cdot G_1 + \gamma_{G2} \cdot G_2 + \gamma_P \cdot P + \gamma_{Q1} \cdot Q_{k1} + \gamma_{Q2} \cdot \psi_{02} \cdot Q_{k2} + \gamma_{Q3} \cdot \psi_{03} \cdot Q_{k3} + \dots$$

Combinazione caratteristica (rara), generalmente impiegata per gli stati limite di esercizio (SLE) irreversibili:

$$G_1 + G_2 + P + Q_{k1} + \psi_{02} \cdot Q_{k2} + \psi_{03} \cdot Q_{k3} + \dots$$

Combinazione frequente, generalmente impiegata per gli stati limite di esercizio (SLE) reversibili, utilizzata nella verifica a Fessurazione:

$$G_1 + G_2 + P + \psi_{11} \cdot Q_{k1} + \psi_{22} \cdot Q_{k2} + \psi_{23} \cdot Q_{k3} + \dots$$

Combinazione quasi permanente, generalmente impiegata per gli stati limite di esercizio (SLE) a lungo termine;

$$G_1 + G_2 + P + \psi_{21} \cdot Q_{k1} + \psi_{22} \cdot Q_{k2} + \psi_{23} \cdot Q_{k3} + \dots$$

Combinazione sismica, impiegata per gli stati limite ultimi e di esercizio connessi all'azione sismica E:

$$E + G_1 + G_2 + P + \psi_{21} \cdot Q_{k1} + \psi_{22} \cdot Q_{k2} + \dots$$

dove:

$$E = \pm 1.00 \times E_Y \pm 0.3 \times E_Z$$

avendo indicato con E_Y e E_Z rispettivamente le componenti orizzontale e verticale dell'azione sismica.

I coefficienti di amplificazione dei carichi γ e i coefficienti di combinazione ψ sono riportati nelle tabelle seguenti.

In particolare, nel calcolo della struttura, si è fatto riferimento alla combinazione A1+M1+R3 (Approccio 2) per le verifiche strutturali e geotecniche.

| | | | | | | |
|--|--|-------------------------|--------------------|--------------------------|----------------------------------|------------------|
|  ITALFERR GRUPPO FERROVIE DELLO STATO ITALIANE | LINEA AV/AC MILANO – VENEZIA LOTTO FUNZIONALE TRATTA AV/AC VERONA-PADOVA NODO AV/AC DI VERONA: INGRESSO EST | | | | | |
| | Relazione di calcolo Portale di prolungamento | COMMESSA IN1A | LOTTO 20 | CODIFICA D26CL | DOCUMENTO SL 07 00 001 | REV. A |

Tabella 5.2.V – Coefficienti parziali di sicurezza per le combinazioni di carico agli SLU, eccezionali e sismica (da DM 17/01/2018)

| | | Coefficiente | EQU ⁽¹⁾ | A1 STR | A2 GEO | Combinazione eccezionale | Combinazione Sismica |
|---|-------------|---------------|---------------------|---------------------|--------|--------------------------|----------------------|
| Carichi permanenti | favorevoli | γ_{G1} | 0,90 | 1,00 | 1,00 | 1,00 | 1,00 |
| | sfavorevoli | | 1,10 | 1,35 | 1,00 | 1,00 | 1,00 |
| Carichi permanenti non strutturali ⁽²⁾ | favorevoli | γ_{G2} | 0,00 | 0,00 | 0,00 | 1,00 | 1,00 |
| | sfavorevoli | | 1,50 | 1,50 | 1,30 | 1,00 | 1,00 |
| Ballast ⁽³⁾ | favorevoli | γ_B | 0,90 | 1,00 | 1,00 | 1,00 | 1,00 |
| | sfavorevoli | | 1,50 | 1,50 | 1,30 | 1,00 | 1,00 |
| Carichi variabili da traffico ⁽⁴⁾ | favorevoli | γ_Q | 0,00 | 0,00 | 0,00 | 0,00 | 0,00 |
| | sfavorevoli | | 1,45 | 1,45 | 1,25 | 0,20 ⁽⁵⁾ | 0,20 ⁽⁵⁾ |
| Carichi variabili | favorevoli | γ_{Qi} | 0,00 | 0,00 | 0,00 | 0,00 | 0,00 |
| | sfavorevoli | | 1,50 | 1,50 | 1,30 | 1,00 | 0,00 |
| Precompressione | favorevole | γ_P | 0,90 | 1,00 | 1,00 | 1,00 | 1,00 |
| | sfavorevole | | 1,00 ⁽⁶⁾ | 1,00 ⁽⁷⁾ | 1,00 | 1,00 | 1,00 |

- (1) Equilibrio che non coinvolga i parametri di deformabilità e resistenza del terreno; altrimenti si applicano i valori di GEO.
- (2) Nel caso in cui i carichi permanenti non strutturali (ad es. carichi permanenti portati) siano compiutamente definiti si potranno adottare gli stessi coefficienti validi per le azioni permanenti.
- (3) Quando si prevedano variazioni significative del carico dovuto al ballast, se ne dovrà tener conto esplicitamente nelle verifiche.
- (4) Le componenti delle azioni da traffico sono introdotte in combinazione considerando uno dei gruppi di carico gr della Tab. 5.2.IV.
- (5) Aliquota di carico da traffico da considerare.
- (6) 1,30 per instabilità in strutture con precompressione esterna
- (7) 1,20 per effetti locali

| | | | | | | |
|---|--|-------------------------|--------------------|--------------------------|----------------------------------|------------------|
|  | LINEA AV/AC MILANO – VENEZIA LOTTO FUNZIONALE TRATTA AV/AC VERONA-PADOVA NODO AV/AC DI VERONA: INGRESSO EST | | | | | |
| | Relazione di calcolo Portale di prolungamento | COMMESSA IN1A | LOTTO 20 | CODIFICA D26CL | DOCUMENTO SL 07 00 001 | REV. A |

Tabella 5.2.VI - Coefficienti di combinazione ψ delle azioni (da DM 17/01/2018)

| Azioni | | ψ_0 | ψ_1 | ψ_2 |
|----------------------------|---|---------------------|---------------------|----------|
| Azioni singole da traffico | Carico sul rilevato a tergo delle spalle | 0,80 | 0,50 | 0,0 |
| | Azioni aerodinamiche generate dal transito dei convogli | 0,80 | 0,50 | 0,0 |
| Gruppi di carico | gr_1 | 0,80 ⁽²⁾ | 0,80 ⁽¹⁾ | 0,0 |
| | gr_2 | 0,80 ⁽²⁾ | 0,80 ⁽¹⁾ | - |
| | gr_3 | 0,80 ⁽²⁾ | 0,80 ⁽¹⁾ | 0,0 |
| | gr_4 | 1,00 | 1,00 ⁽¹⁾ | 0,0 |
| Azioni del vento | F_{Wk} | 0,60 | 0,50 | 0,0 |
| Azioni da neve | in fase di esecuzione | 0,80 | 0,0 | 0,0 |
| | SLU e SLE | 0,0 | 0,0 | 0,0 |
| Azioni termiche | T_k | 0,60 | 0,60 | 0,50 |

Nella combinazione sismica le azioni indotte dal traffico ferroviario sono combinate con un coefficiente $\psi_2 = 0.2$ (punto 3.2.4 del DM 17/01/2018) coerentemente con l'aliquota di massa afferente ai carichi da traffico.

Le azioni descritte nel paragrafo precedente ed utilizzate nelle combinazioni di carico vengono di seguito riassunte:

Tabella 2 – Riepilogo condizioni di carico

| Tipo Carico | Abbreviazione |
|-----------------------------------|---------------|
| Peso proprio | DEAD |
| Carichi permanenti | PERM |
| Falda | FALDA |
| Spinta terreno sinistra | STS |
| Spinta terreno destra | STD |
| Carico Ferroviario Centrato | TRM |
| Carico Ferroviario Laterale | TRV |
| Sovraccarico accidentale sinistra | SAS |
| Sovraccarico accidentale destra | SAD |
| Traffico Stradale | TRAF |
| Ritiro | RIT |
| Variazione termica | ΔT |
| Avviamento e frenatura | AVV |
| Azione sismica orizzontale | E_H |
| Azione sismica verticale | E_V |

Relazione di calcolo Portale di prolungamento

| COMMESSA | LOTTO | CODIFICA | DOCUMENTO | REV. | FOGLIO |
|----------|-------|----------|--------------|------|----------|
| IN1A | 20 | D26CL | SL 07 00 001 | A | 33 di 52 |

Si riportano di seguito le combinazioni di carico ritenute più significative con i coefficienti di combinazione $\gamma \cdot \psi$. Essendo la struttura simmetrica, si adottano tipologie di combinazione asimmetriche in modo da massimizzare le sollecitazioni. Il dimensionamento delle armature e le verifiche strutturali verranno poi eseguite tenendo conto della simmetria e verificando le condizioni peggiori per ogni lato della struttura.

Tabella 3 - Combinazioni di carico

| COMB | DEAD | STS | STD | RIT | ΔT | PERM | FALDA | TRM | TRV | SAS | SAD | TRAF | AVV | E_H | E_V |
|---------------------|------|------|------|------|------------|------|-------|------|------|------|------|------|------|-------|-------|
| n° 1 SLU-STR | 1.35 | 1.35 | 1.35 | 1.20 | 1.50 | 1.50 | - | - | - | - | - | - | - | - | - |
| n° 2 SLU-STR | 1.35 | 1.35 | 1.00 | 1.20 | 1.50 | 1.50 | - | | | | | | | | |
| n° 3 SLU-STR | 1.35 | 1.00 | 1.35 | 1.20 | 1.50 | 1.50 | | | | | | | | | |
| n° 04 SLU-STR | 1.35 | 1.35 | 1.35 | 1.20 | 1.50 | 1.50 | 1.35 | - | - | - | - | - | - | - | - |
| n° 05 SLU-STR | 1.35 | 1.35 | 1.00 | 1.20 | 1.50 | 1.50 | 1.35 | | | | | | | | |
| n° 06 SLU-STR | 1.35 | 1.00 | 1.35 | 1.20 | 1.50 | 1.50 | 1.35 | | | | | | | | |
| n° 07 SLU-STR | 1.35 | 1.35 | 1.35 | 1.20 | 0.90 | 1.50 | 1.35 | 1.45 | - | 1.45 | 1.45 | - | 1.45 | - | - |
| n° 08 SLU-STR | 1.35 | 1.35 | 1.00 | 1.20 | 0.90 | 1.50 | 1.35 | 1.45 | - | 1.45 | 1.45 | | 1.45 | | |
| n° 09 SLU-STR | 1.35 | 1.00 | 1.35 | 1.20 | 0.90 | 1.50 | 1.35 | 1.45 | - | 1.45 | 1.45 | | 1.45 | | |
| n° 10 SLU-STR | 1.35 | 1.35 | 1.35 | 1.20 | 0.90 | 1.50 | 1.35 | - | 1.45 | 1.45 | 1.45 | 1.01 | 1.45 | - | - |
| n° 11 SLU-STR | 1.35 | 1.35 | 1.00 | 1.20 | 0.90 | 1.50 | 1.35 | - | 1.45 | 1.45 | 1.45 | 1.01 | 1.45 | | |
| n° 12 SLU-STR | 1.35 | 1.00 | 1.35 | 1.20 | 0.90 | 1.50 | 1.35 | - | 1.45 | 1.45 | 1.45 | 1.01 | 1.45 | | |
| n° 13 SLU-STR | 1.35 | 1.35 | 1.35 | 1.20 | 0.90 | 1.50 | 1.35 | 1.45 | - | 1.45 | - | 1.01 | 1.45 | - | - |
| n° 14 SLU-STR | 1.35 | 1.35 | 1.00 | 1.20 | 0.90 | 1.50 | 1.35 | 1.45 | - | 1.45 | - | 1.01 | 1.45 | - | - |
| n° 15 SLU-STR | 1.35 | 1.00 | 1.35 | 1.20 | 0.90 | 1.50 | 1.35 | 1.45 | - | 1.45 | - | 1.01 | 1.45 | - | - |
| n° 16 SLU - SISMICA | 1.00 | 1.00 | 1.00 | 1.00 | 0.50 | 1.00 | 1.00 | 0.20 | - | 0.20 | - | - | 0.20 | 1.00 | 0.30 |
| n° 17 SLU - SISMICA | 1.00 | 1.00 | 1.00 | 1.00 | 0.50 | 1.00 | 1.00 | 0.20 | - | 0.20 | - | - | 0.20 | 1.00 | -0.30 |
| n° 18 SLU - SISMICA | 1.00 | 1.00 | 1.00 | 1.00 | 0.50 | 1.00 | - | 0.20 | - | 0.20 | - | - | 0.20 | 1.00 | 0.30 |
| n° 19 SLU - SISMICA | 1.00 | 1.00 | 1.00 | 1.00 | 0.50 | 1.00 | - | 0.20 | - | 0.20 | - | - | 0.20 | 1.00 | -0.30 |
| SLE - Q.P. | 1.00 | 1.00 | 1.00 | 1.00 | 0.50 | 1.00 | 1.00 | 0.00 | - | 0.00 | - | - | 0.00 | - | - |
| SLE - Frequente | 1.00 | 1.00 | 1.00 | 1.00 | 0.50 | 1.00 | 1.00 | 0.80 | - | 0.80 | - | - | 0.80 | - | - |
| SLE - Rara | 1.00 | 1.00 | 1.00 | 1.00 | 0.60 | 1.00 | 1.00 | 1.00 | - | 1.00 | - | - | 1.00 | - | - |

9 DIAGRAMMI DELLE SOLLECITAZIONI

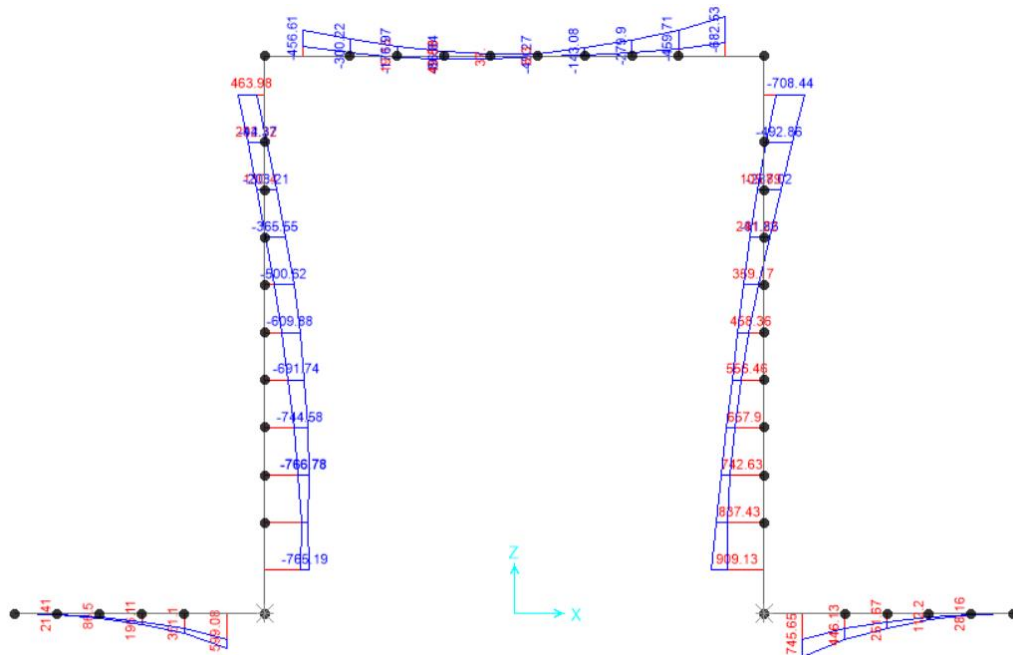


Fig. 3 – Involuppo momenti flettenti SLU

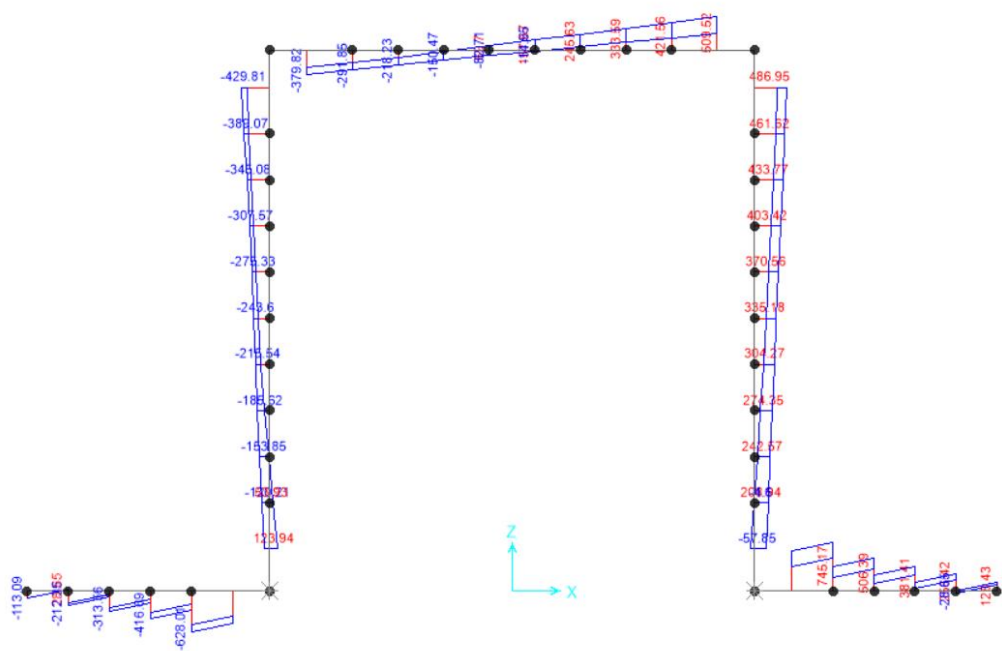


Fig. 4 – Involuppo sforzi taglienti SLU

Relazione di calcolo Portale di prolungamento

| COMMESSA | LOTTO | CODIFICA | DOCUMENTO | REV. | FOGLIO |
|----------|-------|----------|--------------|------|----------|
| IN1A | 20 | D26CL | SL 07 00 001 | A | 35 di 52 |

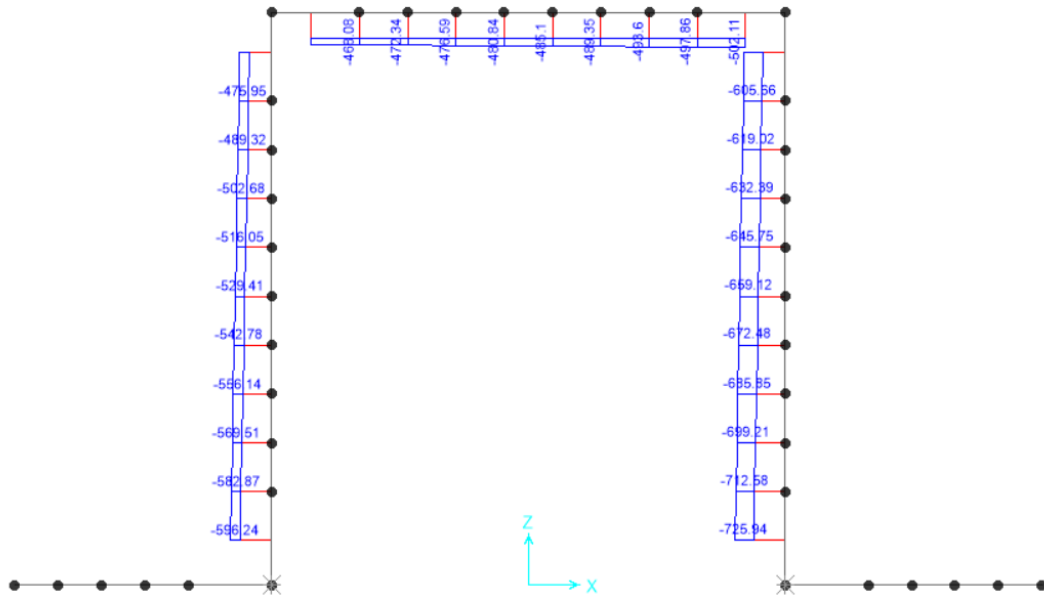


Fig. 5 – Involuppo azioni assiali SLU

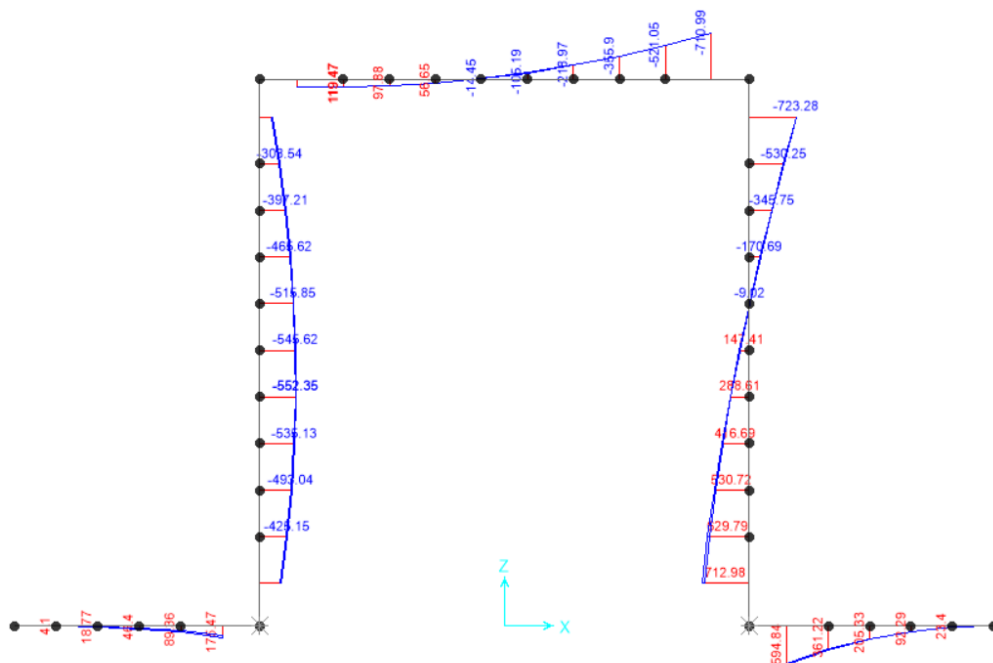


Fig. 6 – Involuppo momenti flettenti SLV

Relazione di calcolo Portale di prolungamento

| COMMESSA | LOTTO | CODIFICA | DOCUMENTO | REV. | FOGLIO |
|----------|-------|----------|--------------|------|----------|
| IN1A | 20 | D26CL | SL 07 00 001 | A | 36 di 52 |

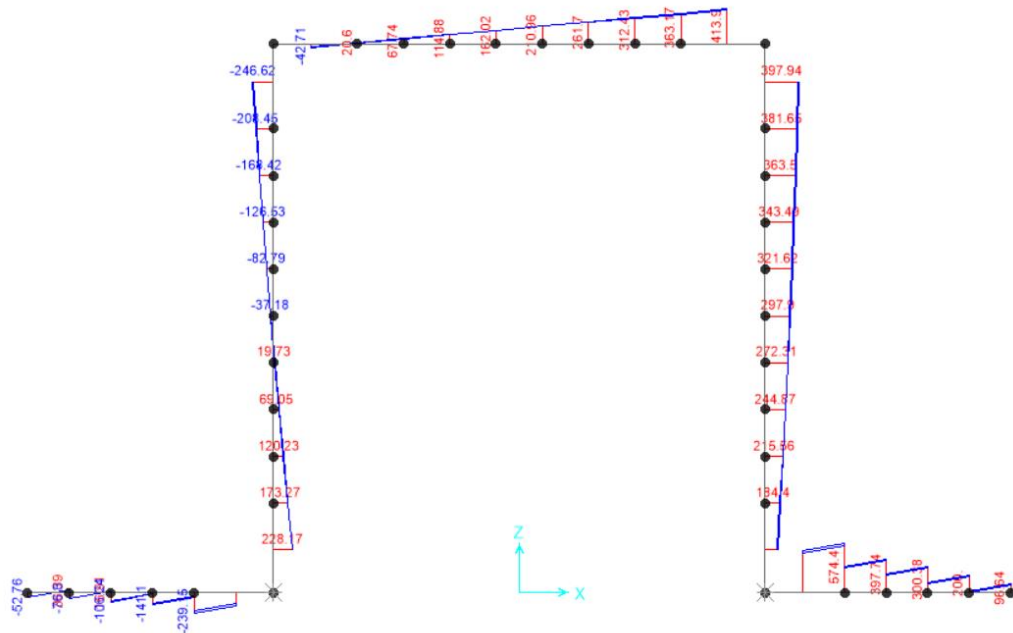


Fig. 7 – Involuppo sforzi taglianti SLV

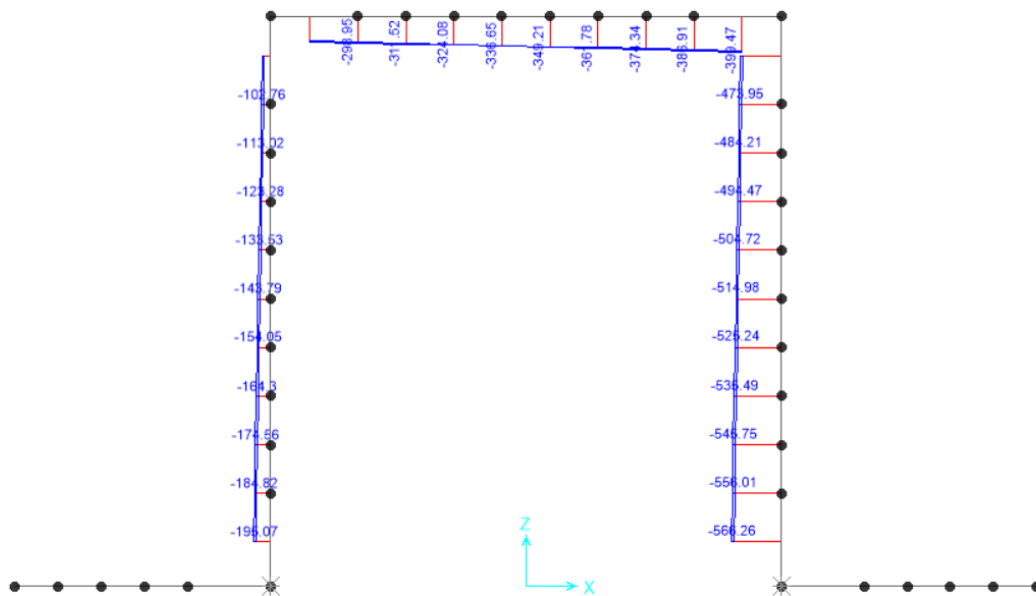


Fig. 8 – Involuppo azioni assiali SLV

Relazione di calcolo Portale di prolungamento

| COMMESSA | LOTTO | CODIFICA | DOCUMENTO | REV. | FOGLIO |
|----------|-------|----------|--------------|------|----------|
| IN1A | 20 | D26CL | SL 07 00 001 | A | 37 di 52 |

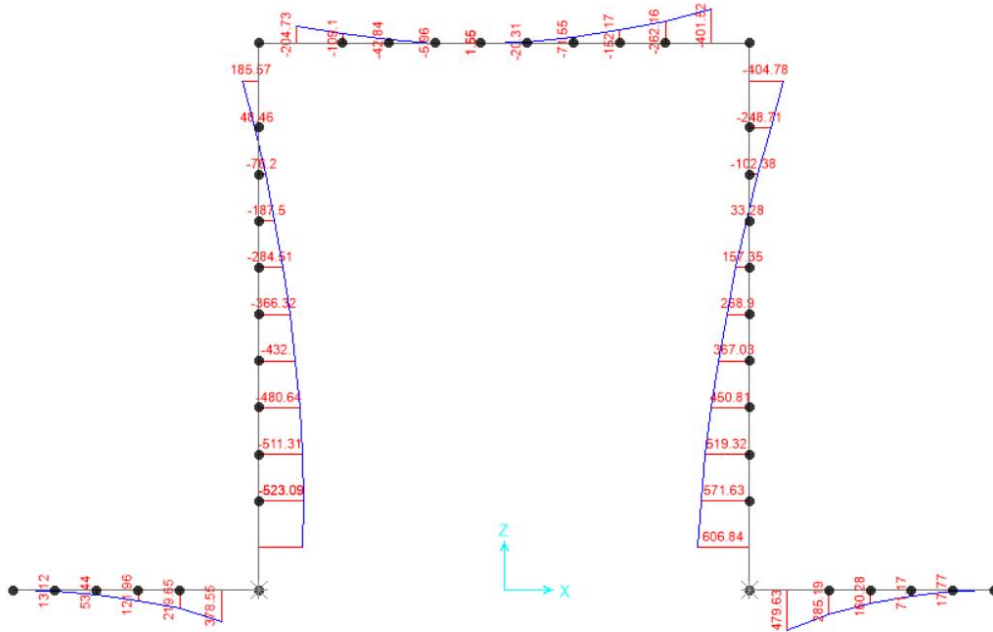


Fig. 9 – Involuppo momenti flettenti SLE rara

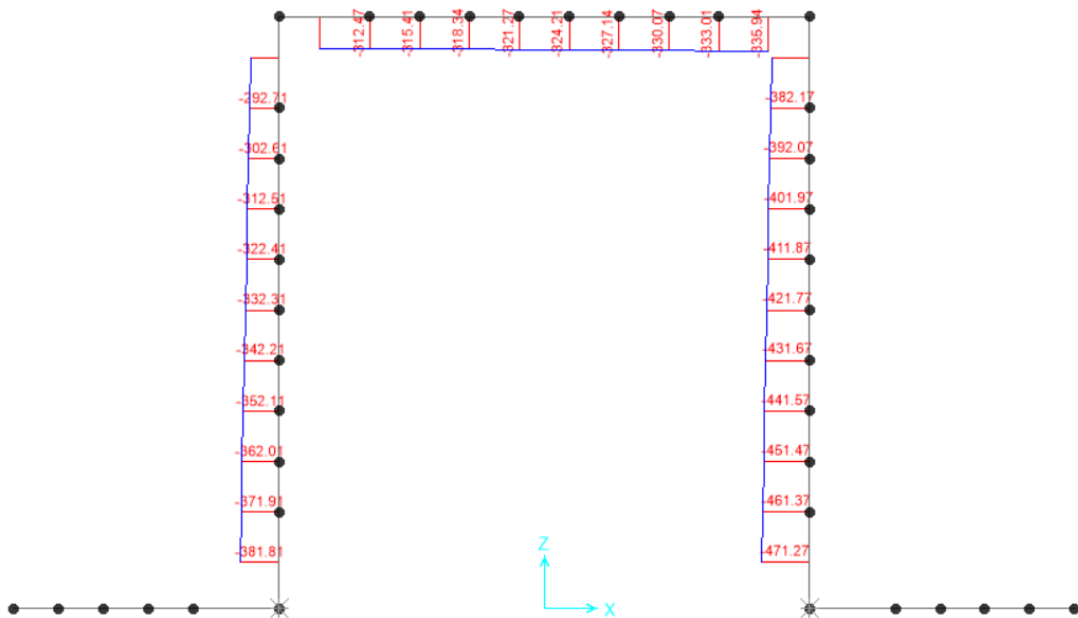


Fig. 10 – Involuppo azioni assiali SLE rara

10 VERIFICA DELLE SEZIONI IN C.A.

Nelle tabelle seguenti sono indicati i valori delle sollecitazioni massime e i valori delle sollecitazioni per la verifica a fessurazione risultanti dalle combinazioni di cui al capitolo precedente.

Per le verifiche in corrispondenza dei nodi si considerano le sollecitazioni a filo elemento rigido. Per ogni elemento si ricerca la sezione di Momento e Taglio massimo; la verifica sarà eseguita con la sollecitazione, in modulo, maggiore:

| SLU STR-SLV | | | | |
|----------------------|----------------|--------|-----------------|----------------|
| Elemento strutturale | C.C. M_{max} | N (kN) | M_{max} (kNm) | T_{max} (kN) |
| soletta inferiore | SLU14-STR | 0.00 | 745.65 | 745.17 |
| | SLU17-SIS | 0.00 | 0.00 | - |
| soletta superiore | SLU16-SIS | 399.47 | -710.99 | 509.52 |
| | SLU17-SIS | 289.51 | 119.47 | - |
| piedritti | SLU13-STR | 481.61 | -766.78 | 429.81 |
| | SLU06-STR | 419.99 | 463.98 | 429.81 |
| | SLU16-SIS | 463.70 | 723.28 | 486.95 |
| | SLU13-STR | 716.17 | -909.13 | 486.95 |

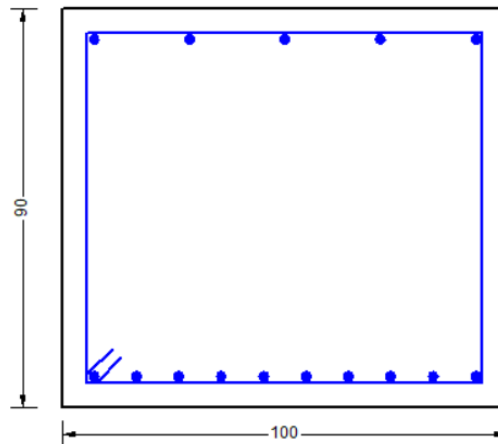
| Elemento strutturale | SLE RARA | | SLE FREQUENTE | | | SLE QUASI PERMANENTE | | |
|----------------------|----------|-----------------|-------------------|--------|-----------------|----------------------|--------|-----------------|
| | N (kN) | M_{max} (kNm) | ID Asta | N (kN) | M_{max} (kNm) | ID Asta | N (kN) | M_{max} (kNm) |
| soletta inferiore | 0.00 | 479.63 | soletta inferiore | 0.00 | 455.44 | soletta inferiore | 0.00 | 382.85 |
| | 0.00 | 0.00 | | 0.00 | 0.00 | | 0.00 | 0.00 |
| soletta superiore | 335.94 | -401.52 | soletta superiore | 324.18 | -371.96 | soletta superiore | 288.91 | -283.27 |
| | 321.27 | 1.55 | | 312.45 | -4.37 | | 285.98 | -22.15 |
| piedritti | 371.91 | -523.09 | piedritti | 366.04 | -512.00 | piedritti | 358.32 | -481.05 |
| | 282.81 | 185.57 | | 276.94 | 195.69 | | 259.32 | 226.07 |
| | 372.27 | 404.78 | | 348.50 | 371.06 | | 277.21 | 269.91 |
| | 471.27 | -606.84 | | 447.50 | -579.98 | | 376.21 | -499.40 |

Relazione di calcolo Portale di prolungamento

| COMMESSA | LOTTO | CODIFICA | DOCUMENTO | REV. | FOGLIO |
|----------|-------|----------|--------------|------|----------|
| IN1A | 20 | D26CL | SL 07 00 001 | A | 39 di 52 |

10.1 Verifica soletta inferiore

Si adottano spille $9\varnothing 12/mq$



MATERIALS DATA

| | | |
|------------|--|----------------------------|
| CONCRETE - | Class: | C30/37 |
| | Design compressive strength f_{cd} : | 20.0 MPa |
| | Shear reduced compressive strenght $v1*f_{cd}$: | 10.6 MPa (6.9)EC2 |
| | Coeff Crd,c: | 0.1200 (§ 6.2.2(1) EC2 |
| | Coeff K1: | 0.1500 (§ 6.2.2(1) EC2 |
| | Coeff v min: | 0.0091 Mpa (§ 6.2.2(1) EC2 |
| | Strain at max strength $ec2$: | 0.0020 |
| | Ultimate strain ecu : | 0.0035 |
| | Compression diagram stress-strain: | Parabola-Rectangle |
| | Mean Elastic Modulus E_{cm} : | 32836.6 MPa |
| | Mean tensile strength f_{ctm} : | 2.9 MPa |
| | Creep coeff.: | 2.50 |
| | Shrinkage coeff.: | 0.00025 |
| | Ageing Coeff.: | 0.800 |
| STEEL - | Longitudinal Bars and Stirrups: | B450C |
| | Characteristic yield stress f_{yk} : | 450.00 MPa |
| | Tensile strength f_{tk} : | 450.0 MPa |
| | Design yield stress f_{yd} : | 391.3 MPa |
| | Design strength f_{td} : | 391.3 MPa |
| | Design ultimate strain es_u : | 0.068 |
| | Mean elastic modulus E_s : | 200000.0 MPa |

GEOMETRICAL DATA OF CONCRETE CROSS-SECTION

Shape of Region: Polygonal
Concrete Class: C30/37

| Vertex N.: | X [cm] | Y [cm] |
|------------|--------|--------|
| 1 | -50.0 | 0.0 |
| 2 | -50.0 | 90.0 |
| 3 | 50.0 | 90.0 |
| 4 | 50.0 | 0.0 |

DATA ISOLATED LONGITUDINAL BARS

| Bar N. | X [cm] | Y [cm] | DiamØ[mm] |
|--------|--------|--------|-----------|
| 1 | -42.8 | 7.2 | 24 |
| 2 | -42.8 | 82.8 | 24 |
| 3 | 42.8 | 82.8 | 24 |
| 4 | 42.8 | 7.2 | 24 |

DATA OF LINEAR GENERATIONS OF LONGITUDINAL BARS

N. Gen. Number of generated bars of the current linear generation
 N.Initial Bar Order number of initial bar (between the isolated bars just defined)
 N.Final Bar Order number of final bar (between the isolated bars just defined)
 N. Bars Number of bars generated equidistant in the current generation
 Ø Diameter [mm] of generated bars

| Gen.N. | Initial Bar | Final Bar | N. Bars | Ø |
|--------|-------------|-----------|---------|----|
| 1 | 2 | 3 | 3 | 24 |
| 2 | 1 | 4 | 8 | 24 |

ULTIMATE LIMIT STATE - ASSIGNED DESIGN FORCES FOR EACH COMBINATION

| Comb. | N d | Mx d | Vy d |
|-------|------|--------|--------|
| 1 | 0.00 | 745.65 | 745.17 |
| 2 | 0.00 | -0.81 | 0.00 |

SERVICEABILITY LIMIT STATES - CHARACTERISTIC COMB. - ASSIGNED INTERNAL FORCES FOR EACH COMBINATION

N Axial force [kN] applied at the centroid of concrete section (+ if compressive)
 MX Bending force [kNm] around X axis of reference system. First cracking value is shown between brackets.

| Comb. | N | Mx | My |
|-------|------|--------|------|
| 1 | 0.00 | 479.63 | 0.00 |

SERVICEABILITY LIMIT STATES - FREQUENT COMB. - ASSIGNED INTERNAL FORCES FOR EACH COMBINATION

N Axial force [kN] applied at the centroid of concrete section (+ if compressive)
 MX Bending force [kNm] around X axis of reference system. First cracking value is shown between brackets.

| Comb. | N | Mx | My |
|-------|------|-----------------|-------------|
| 1 | 0.00 | 455.44 (434.19) | 0.00 (0.00) |

SERVICEABILITY LIMIT STATES - QUASI-PERMANENT COMB. - ASSIGNED INTERNAL FORCES FOR EACH COMBINATION

N Axial force [kN] applied at the centroid of concrete section (+ if compressive)
 MX Bending force [kNm] around X axis of reference system. First cracking value is shown between brackets.

| Comb. | N | Mx | My |
|-------|---|----|----|
| | | | |

| | | | | | | |
|---|----------|-------|----------|--------------|------|----------|
| Relazione di calcolo Portale di prolungamento | COMMESSA | LOTTO | CODIFICA | DOCUMENTO | REV. | FOGLIO |
| | IN1A | 20 | D26CL | SL 07 00 001 | A | 41 di 52 |

1 0.00 382.85 (434.19) 0.00 (0.00)

CHECKS RESULTS

Checks OK for all assigned combinations

Min edge cover of longitudinal bars: 6.0 cm
Min distance between longitudinal bars: 7.1 cm
Min edge cover of stirrups: 5.2 cm

ULTIMATE LIMIT STATES - N-MX-MY CAPACITY CHECKS

Check Result of check
N Design axial force [kN] applied at the centroid of concrete section (+ if compressive)
Mx Design bending moment [kNm] around x axis principal of inerzia
N ult Axial force capacity [kN] (+ if compressive)
Mx ult Bending moment capacity [kNm] around x axis principal of inertia
S.F. Safety Factor = vectorial ratio of (N ult,Mx ult,My ult) to (N,Mx,My). Check OK if ratio >=1.00

| Comb. | Check | N | Mx | N ult | Mx ult | S.F. |
|-------|-------|------|--------|-------|---------|---------|
| 1 | OK | 0.00 | 745.65 | 0.00 | 1388.58 | 1.862 |
| 2 | OK | 0.00 | -0.81 | 0.00 | -717.18 | 885.401 |

ULTIMATE LIMIT STATE - BENDING AND AXIAL FORCE - STRAIN VALUES

ec max Ultimate compressive strain in concrete
ec* Strain in the concrete fiber at ec2/ecu of depth (if ec*>0 then the section is all compressed)
Xc max X-coordinate [cm] in the concrete point in wich is ec max
Yc max Y-coordinate [cm] in the concrete point in wich is ec max
es max Max strain in steel bars (+ if compressive)
Xs max X-coordinate [cm] of bar in wich is es max
Ys max Y-coordinate [cm] of bar in wich is es max
es min Min strain in steel bars (+ if compressive)
Xs min X-coordinate [cm] of bar in wich is es min
Ys min Y-coordinate [cm] of bar in wich is es min

| Comb. | ec max | ec* | Xc max | Yc max | es max | Xs max | Ys max | es min | Xs min | Ys min |
|-------|---------|----------|--------|--------|----------|--------|--------|----------|--------|--------|
| 1 | 0.00350 | -0.01152 | -50.0 | 90.0 | 0.00070 | -42.8 | 82.8 | -0.02875 | -42.8 | 7.2 |
| 2 | 0.00350 | -0.01648 | -50.0 | 0.0 | -0.00023 | -42.8 | 7.2 | -0.03938 | -42.8 | 82.8 |

ULTIMATE LIMIT STATE - POSITION OF NEUTRAL AXIS FOR EACH COMBINATION

a, b, c Coeff. a, b, c in neutral axis equation: aX+bY+c=0 reference X,Y,O
x/d Ratio of the depth of neutral axis to the effective depth of the section
D Ratio of redistributed moment to the elastic moment in continuous beams [eq.(5.10)EC2]

| Comb. | a | b | c | x/d | D |
|-------|-------------|--------------|--------------|------|------|
| 1 | 0.000000000 | 0.000389531 | -0.031557832 | ---- | ---- |
| 2 | 0.000000000 | -0.000517887 | 0.003500000 | ---- | ---- |

ULTIMATE LIMIT STATES - SHEAR CHECKS

Check Result of check
Ved Design Shear Vy [kN] orthogonal to neutral axis
Vrd,max Shear resistance [kN] by concrete diagonal struts [(6.9) EC2]
Vrd,s Shear resistance [kN] by stirrups [(6.8) EC2]
Zm Main weighted inner lever arm [cm] of strips orthogonal to neutral axis:
are not included strips without an extreme compressed.
The weights are constituted by the length of lever arm for each strips.
Dm Main weighted effective depth [cm] of strips orthogonal to neutral axis.
bw Mean weighted shear width [cm] misurate parallel to the neutral axis =

| | | | | | | |
|---|----------|-------|----------|--------------|------|----------|
| Relazione di calcolo Portale di prolungamento | COMMESSA | LOTTO | CODIFICA | DOCUMENTO | REV. | FOGLIO |
| | IN1A | 20 | D26CL | SL 07 00 001 | A | 42 di 52 |

Ctg = ratio of area of resistant strips to Zmed value
 Cot of angle between the inclined concrete struts and beam axis (§6.2.3(1) EC2)
 Ast Area of hoops+cross-ties strictly necessary for shear force[cm²/m]
 A.Eff Effective Area of hoops+cross-ties in the shear direction in current comb. [cm²/m]

| Comb. | Check | Ved | Vrd,max | Vrd,s | Zm Dm | bw | Ctg | Ast | A.Eff | |
|-------|-------|--------|---------|--------|-----------|-------|------|-------|-------|-----|
| 1 | OK | 745.17 | 2884.20 | 749.00 | 79.2 88.0 | 100.0 | 2.50 | ----- | 9.6 | 9.7 |
| 2 | OK | 0.00 | 4229.12 | 302.97 | 80.1 89.0 | 100.0 | 1.00 | ----- | 0.0 | 9.7 |

SLS CHARACTERISTIC COMBINATIONS

Check Result of check
 Sc max Max compressive stress (+) in concrete [Mpa]. Limit value is shown between brackets.
 Ss min Min tension stress in long. bars [Mpa]. Limit value is shown between brackets.
 Ac eff Effective tension area [cm²] = area of concrete surrounding the tension reinforcement (for crack control)
 sr max Max final crack spacing [mm]
 k1 = 0.8 high bond bars assigned [see eq.(7.11) EC2]
 kt = 0.6 for charact. and frequent SLS; = 0.4 for q.perm SLS (Factor dependent on the duration of the load [see eq.(7.9)] EC2)
 k2 = 0.5 for bending; =(e1 + e2)/(2*e1) for eccentric tension [see eq.(7.13) EC2]
 k3 = 3.400 Coeff. in eq. (7.11) according to national annex
 k4 = 0.425 Coeff. in eq. (7.11) according to national annex
 Ø Bar diameter [mm] or equivalent diameter of tensile bars in Ac eff [eq.(7.11)]
 e sm - e cm Difference between the mean strain of tensile steel and concrete under the relevant combination [eq.(7.8)]
 Between brackets: Minimum value of eq.(7.9) = 0.6 Smax / Es
 wk Calculated value[mm] of crack width = sr max *(e sm - e cm) [eq.(7.8)EC2]
 e B Strain x1000 in the concrete centroid B (+ if shortening)
 Cx Curvature x 1000 [1/cm] around x axis principal of inertia
 Cy Curvature x 1000 [1/cm] around y axis principal of inertia

Short-term results: Stresses - Crack width - Section Strain

| Comb. | Sc max | Ss min | Ac eff | sr max | k2 | Ø | e sm - e cm | wk | e B | Cx | Cy |
|-------|--------|--------|--------|--------|-------|------|-------------------|-------|-----------|----------|----------|
| 1 | 6.3 | -138.3 | 1800 | 366 | 0.500 | 24.0 | 0.00041 (0.00041) | 0.152 | -0.114311 | 0.005588 | 0.000000 |

Long-term results: Stresses - Crack width - Section Strain

| Comb. | Check | Sc max | Ss min | Ac eff | sr max | k2 | Ø | e sm - e cm | wk | e B | Cx | Cy |
|-------|-------|-----------|--------------|--------|--------|-------|------|-------------------|-------|----------|----------|----------|
| 1 | OK | 3.3(18.0) | -140.6(-360) | 1800 | 366 | 0.500 | 24.0 | 0.00042 (0.00042) | 0.155 | 0.043103 | 0.012444 | 0.000000 |

SLS FREQUENT COMBINATIONS

Short-term results: Stresses - Crack width - Section Strain

| Comb. | Sc max | Ss min | Ac eff | sr max | k2 | Ø | e sm - e cm | wk | e B | Cx | Cy |
|-------|--------|--------|--------|--------|-------|------|-------------------|-------|-----------|----------|----------|
| 1 | 6.0 | -131.3 | 1800 | 366 | 0.500 | 24.0 | 0.00039 (0.00039) | 0.144 | -0.108546 | 0.005306 | 0.000000 |

Long-term results: Stresses - Crack width - Section Strain

| Comb. | Check | Sc max | Ss min | Ac eff | sr max | k2 | Ø | e sm - e cm | wk | e B | Cx | Cy |
|-------|-------|-----------|--------------|--------|--------|-------|------|-------------------|-------|----------|----------|----------|
| 1 | OK | 3.1(18.0) | -133.5(-360) | 1800 | 366 | 0.500 | 24.0 | 0.00040 (0.00040) | 0.147 | 0.062366 | 0.011501 | 0.000000 |

SLS QUASI-PERMANENT COMBINATIONS

| | | | | | | |
|---|----------|-------|----------|--------------|------|----------|
| Relazione di calcolo Portale di prolungamento | COMMESSA | LOTTO | CODIFICA | DOCUMENTO | REV. | FOGLIO |
| | IN1A | 20 | D26CL | SL 07 00 001 | A | 43 di 52 |

Short-term results: Stresses - Crack width - Section Strain

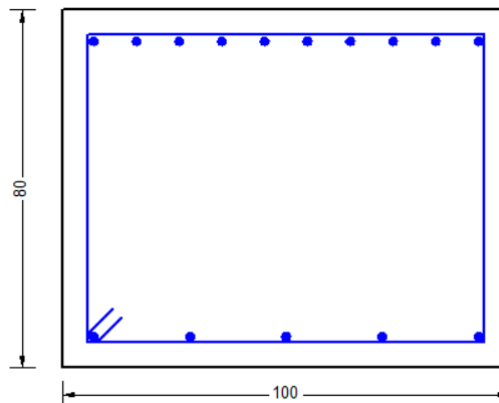
| Comb. | Sc max | Ss min | Ac eff | sr max | k2 | Ø | e sm - e cm | wk | e B | Cx | Cy |
|-------|--------|--------|--------|--------|-------|------|-------------------|-------|-----------|----------|----------|
| 1 | 5.1 | -110.4 | 1800 | 366 | 0.500 | 24.0 | 0.00033 (0.00033) | 0.121 | -0.229565 | 0.008526 | 0.000000 |

Long-term results: Stresses - Crack width - Section Strain

| Comb. | Check | Sc max | Ss min | Ac eff | sr max | k2 | Ø | e sm - e cm | wk | e B | Cx | Cy |
|-------|-------|-----------|--------------|--------|--------|-------|------|-------------------|-------|----------|----------|----------|
| 1 | OK | 2.6(13.5) | -112.1(-360) | 1800 | 366 | 0.500 | 24.0 | 0.00034 (0.00034) | 0.123 | 0.117867 | 0.008773 | 0.000000 |

10.2 Verifica soletta superiore

Si adottano spille 9Ø10/mq



MATERIALS DATA

| | | | |
|------------|--|--------------------|--------------------|
| CONCRETE - | Class: | C30/37 | |
| | Design compressive strength fcd: | 20.0 | MPa |
| | Shear reduced compressive strenght v1*fcd: | 10.6 | MPa (6.9)EC2 |
| | Coeff Crd,c: | 0.1200 | (§ 6.2.2(1) EC2 |
| | Coeff K1: | 0.1500 | (§ 6.2.2(1) EC2 |
| | Coeff v min: | 0.0091 | Mpa(§ 6.2.2(1) EC2 |
| | Strain at max strength ec2: | 0.0020 | |
| | Ultimate strain ecu: | 0.0035 | |
| | Compression diagram stress-strain: | Parabola-Rettangle | |
| | Mean Elastic Modulus Ecm: | 32836.6 | MPa |
| | Mean tensile strength fctm: | 2.9 | MPa |
| | Creep coeff.: | 2.50 | |
| | Shrinkage coeff.: | 0.00025 | |
| | Ageing Coeff.: | 0.800 | |
| STEEL - | Longitudinal Bars and Stirrups: | B450C | |
| | Characteristic yield stress fyk: | 450.00 | MPa |
| | Tensile strength ftk: | 450.0 | MPa |
| | Design yield stress fyd: | 391.3 | MPa |
| | Design strength ftd: | 391.3 | MPa |
| | Design ultimate strain esu: | 0.068 | |
| | Mean elastic modulus Es: | 200000.0 | MPa |

Relazione di calcolo Portale di prolungamento

| COMMESSA | LOTTO | CODIFICA | DOCUMENTO | REV. | FOGLIO |
|----------|-------|----------|--------------|------|----------|
| IN1A | 20 | D26CL | SL 07 00 001 | A | 44 di 52 |

GEOMETRICAL DATA OF CONCRETE CROSS-SECTION

Shape of Region: Polygonal
Concrete Class: C30/37

| Vertex N.: | X [cm] | Y [cm] |
|------------|--------|--------|
| 1 | -50.0 | 0.0 |
| 2 | -50.0 | 80.0 |
| 3 | 50.0 | 80.0 |
| 4 | 50.0 | 0.0 |

DATA ISOLATED LONGITUDINAL BARS

| Bar N. | X [cm] | Y [cm] | DiamØ[mm] |
|--------|--------|--------|-----------|
| 1 | -42.5 | 7.5 | 24 |
| 2 | -42.5 | 72.5 | 24 |
| 3 | 42.5 | 72.5 | 24 |
| 4 | 42.5 | 7.5 | 24 |

DATA OF LINEAR GENERATIONS OF LONGITUDINAL BARS

N. Gen. Number of generated bars of the current linear generation
N.Initial Bar Order number of initial bar (between the isolated bars just defined)
N.Final Bar Order number of final bar (between the isolated bars just defined)
N. Bars Number of bars generated equidistant in the current generation
Ø Diameter [mm] of generated bars

| Gen.N. | Initial Bar | Final Bar | N. Bars | Ø |
|--------|-------------|-----------|---------|----|
| 1 | 2 | 3 | 8 | 24 |
| 2 | 1 | 4 | 3 | 24 |

ULTIMATE LIMIT STATE - ASSIGNED DESIGN FORCES FOR EACH COMBINATION

MX d Design bending force [kNm] around X axis of reference system
VY d Design shear component [kN] parallel to Y reference axis

| Comb. | N d | Mx d | Vy d |
|-------|--------|---------|--------|
| 1 | 399.47 | -710.99 | 509.52 |
| 2 | 289.51 | 119.47 | 0.00 |

SERVICEABILITY LIMIT STATES - CHARACTERISTIC COMB. - ASSIGNED INTERNAL FORCES FOR EACH COMBINATION

N Axial force [kN] applied at the centroid of concrete section (+ if compressive)
MX Bending force [kNm] around X axis of reference system. First cracking value is shown between brackets.

| Comb. | N | Mx | My |
|-------|--------|---------|------|
| 1 | 335.94 | -401.52 | 0.00 |
| 2 | 321.27 | 1.55 | 0.00 |

SERVICEABILITY LIMIT STATES - FREQUENT COMB. - ASSIGNED INTERNAL FORCES FOR EACH COMBINATION

N Axial force [kN] applied at the centroid of concrete section (+ if compressive)
MX Bending force [kNm] around X axis of reference system. First cracking value is shown between brackets.

Relazione di calcolo Portale di prolungamento

| COMMESSA | LOTTO | CODIFICA | DOCUMENTO | REV. | FOGLIO |
|----------|-------|----------|--------------|------|----------|
| IN1A | 20 | D26CL | SL 07 00 001 | A | 45 di 52 |

| Comb. | N | Mx | My |
|-------|--------|-------------------|-------------|
| 1 | 324.18 | -371.96 (-255.00) | 0.00 (0.00) |
| 2 | 312.45 | -4.37 (0.00) | 0.00 (0.00) |

SERVICEABILITY LIMIT STATES - QUASI-PERMANENT COMB. - ASSIGNED INTERNAL FORCES FOR EACH COMBINATION

N Axial force [kN] applied at the centroid of concrete section (+ if compressive)
MX Bending force [kNm] around X axis of reference system. First cracking value is shown between brackets.

| Comb. | N | Mx | My |
|-------|--------|-------------------|-------------|
| 1 | 288.91 | -283.27 (-237.21) | 0.00 (0.00) |
| 2 | 285.98 | -22.15 (0.00) | 0.00 (0.00) |

CHECKS RESULTS

Checks OK for all assigned combinations

| | | |
|---|-----|----|
| Min edge cover of longitudinal bars: | 6.3 | cm |
| Min distance between longitudinal bars: | 7.0 | cm |
| Min edge cover of stirrups: | 5.5 | cm |

ULTIMATE LIMIT STATES - N-MX-MY CAPACITY CHECKS

Check Result of check
N Design axial force [kN] applied at the centroid of concrete section (+ if compressive)
Mx Design bending moment [kNm] around x axis principal of inerzia
N ult Axial force capacity [kN] (+ if compressive)
Mx ult Bending moment capacity [kNm] around x axis principal of inertia
S.F. Safety Factor = vectorial ratio of (N ult,Mx ult,My ult) to (N,Mx,My). Check OK if ratio >=1.00

| Comb. | Check | N | Mx | N ult | Mx ult | S.F. |
|-------|-------|--------|---------|--------|----------|-------|
| 1 | OK | 399.47 | -710.99 | 399.44 | -1333.55 | 1.868 |
| 2 | OK | 289.51 | 119.47 | 289.51 | 722.44 | 6.243 |

ULTIMATE LIMIT STATE - BENDING AND AXIAL FORCE - STRAIN VALUES

ec max Ultimate compressive strain in concrete
ec* Strain in the concrete fiber at ec2/ecu of depth (if ec*>0 then the section is all compressed)
Xc max X-coordinate [cm] in the concrete point in wich is ec max
Yc max Y-coordinate [cm] in the concrete point in wich is ec max
es max Max strain in steel bars (+ if compressive)
Xs max X-coordinate [cm] of bar in wich is es max
Ys max Y-coordinate [cm] of bar in wich is es max
es min Min strain in steel bars (+ if compressive)
Xs min X-coordinate [cm] of bar in wich is es min
Ys min Y-coordinate [cm] of bar in wich is es min

| Comb. | ec max | ec* | Xc max | Yc max | es max | Xs max | Ys max | es min | Xs min | Ys min |
|-------|---------|----------|--------|--------|----------|--------|--------|----------|--------|--------|
| 1 | 0.00350 | -0.00786 | -50.0 | 0.0 | 0.00101 | -42.5 | 7.5 | -0.02052 | -42.5 | 72.5 |
| 2 | 0.00350 | -0.01265 | -50.0 | 80.0 | -0.00003 | -42.5 | 72.5 | -0.03065 | -42.5 | 7.5 |

ULTIMATE LIMIT STATE - POSITION OF NEUTRAL AXIS FOR EACH COMBINATION

a, b, c Coeff. a, b, c in neutral axis equation: $aX+bY+c=0$ reference X,Y,O
x/d Ratio of the depth of neutral axis to the effective depth of the section
D Ratio of redistributed moment to the elastic moment in continuous beams [eq.(5.10)EC2]

| | | | | | | |
|---|----------|-------|----------|--------------|------|----------|
| Relazione di calcolo Portale di prolungamento | COMMESSA | LOTTO | CODIFICA | DOCUMENTO | REV. | FOGLIO |
| | IN1A | 20 | D26CL | SL 07 00 001 | A | 46 di 52 |

| Comb. | a | b | c | x/d | D |
|-------|-------------|--------------|--------------|------|------|
| 1 | 0.000000000 | -0.000331373 | 0.003500000 | ---- | ---- |
| 2 | 0.000000000 | 0.000470988 | -0.034179016 | ---- | ---- |

ULTIMATE LIMIT STATES - SHEAR CHECKS

| | |
|---------|---|
| Check | Result of check |
| Ved | Design Shear V_y [kN] orthogonal to neutral axis |
| Vrd,max | Shear resistance [kN] by concrete diagonal struts [(6.9) EC2] |
| Vrd,s | Shear resistance [kN] by stirrups [(6.8) EC2] |
| Zm | Main weighted inner lever arm [cm] of strips orthogonal to neutral axis: are not included strips without an extreme compressed. The weights are constituted by the length of lever arm for each strips. |
| Dm | Main weighted effective depth [cm] of strips orthogonal to neutral axis. |
| bw | Mean weighted shear width [cm] misurate parallel to the neutral axis = = ratio of area of resistant strips to Zmed value |
| Ctg | Cot of angle between the inclined concrete struts and beam axis (§6.2.3(1) EC2) |
| Ast | Area of hoops+cross-ties strictly necessary for shear force[cm ² /m] |
| A.Eff | Effective Area of hoops+cross-ties in the shear direction in current comb. [cm ² /m] |

| Comb. | Check | Ved | Vrd,max | Vrd,s | Zm Dm | bw | Ctg | Ast | A.Eff |
|-------|-------|--------|---------|--------|-----------|-------|------|-----|-------|
| 1 | OK | 509.52 | 2486.17 | 512.56 | 68.3 75.9 | 100.0 | 2.50 | 7.6 | 7.7 |
| 2 | OK | 0.00 | 3671.06 | 208.79 | 69.5 77.3 | 100.0 | 1.00 | 0.0 | 7.7 |

SLS CHARACTERISTIC COMBINATIONS

| | |
|-------------|---|
| Check | Result of check |
| Sc max | Max compressive stress (+) in concrete [Mpa]. Limit value is shown between brackets. |
| Ss min | Min tension stress in long. bars [Mpa]. Limit value is shown between brackets. |
| Ac eff | Effective tension area [cm ²] = area of concrete surrounding the tension reinforcement (for crack control) |
| sr max | Max final crack spacing [mm] |
| k1 | = 0.8 high bond bars assigned [see eq.(7.11) EC2] |
| kt | = 0.6 for charact. and frequent SLS; = 0.4 for q.perm SLS (Factor dependent on the duration od the load [see eq.(7.9)] EC2) |
| k2 | = 0.5 for bending; $=(e1 + e2)/(2*e1)$ for eccentric tension [see eq.(7.13) EC2] |
| k3 | = 3.400 Coeff. in eq. (7.11) according to national annex |
| k4 | = 0.425 Coeff. in eq. (7.11) according to national annex |
| Ø | Bar diameter [mm] or equivalent diameter of tensile bars in Ac eff [eq.(7.11)] |
| e sm - e cm | Difference between the mean strain of tensile steel and concrete under the relevant combination [eq.(7.8)] Between brackets: Minimum value of eq.(7.9) = 0.6 Smax / Es |
| wk | Calculated value[mm] of crack width = sr max *(e sm - e cm) [eq.(7.8)EC2] |
| e B | Strain x1000 in the concrete centroid B (+ if shortering) |
| Cx | Curvature x 1000 [1/cm] around x axis principal of inertia |
| Cy | Curvature x 1000 [1/cm] around y axis principal of inertia |

Short-term results: Stresses - Crack width - Section Strain

| Comb. | Sc max | Ss min | Ac eff | sr max | k2 | Ø | e sm - e cm | wk | e B | Cx | Cy |
|-------|--------|--------|--------|--------|-------|------|-------------------|-------|-----------|-----------|----------|
| 1 | 6.8 | -98.5 | 1900 | 386 | 0.500 | 24.0 | 0.00030 (0.00030) | 0.114 | -0.063667 | -0.005419 | 0.000000 |
| 2 | 0.4 | 2.3 | 0 | 0 | ---- | ---- | ---- | 0.000 | 0.011630 | -0.000001 | 0.000000 |

Long-term results: Stresses - Crack width - Section Strain

| Comb. | Check | Sc max | Ss min | Ac eff | sr max | k2 | Ø | e sm - e cm | wk | e B | Cx | Cy |
|-------|-------|-----------|--------------|--------|--------|-------|------|-------------------|-------|----------|-----------|----------|
| 1 | OK | 3.9(18.0) | -101.6(-360) | 1900 | 386 | 0.500 | 24.0 | 0.00030 (0.00030) | 0.117 | 0.145507 | -0.012751 | 0.000000 |
| 2 | OK | 0.2(18.0) | 47.0(-360) | 0 | 0 | ---- | ---- | ---- | 0.000 | 0.254106 | -0.000587 | 0.000000 |

SLS FREQUENT COMBINATIONS

Relazione di calcolo Portale di prolungamento

| COMMESSA | LOTTO | CODIFICA | DOCUMENTO | REV. | FOGLIO |
|----------|-------|----------|--------------|------|----------|
| IN1A | 20 | D26CL | SL 07 00 001 | A | 47 di 52 |

Short-term results: Stresses - Crack width - Section Strain

| Comb. | Sc max | Ss min | Ac eff | sr max | k2 | Ø | e sm - e cm | wk | e B | Cx | Cy |
|-------|--------|--------|--------|--------|-------|------|-------------------|-------|-----------|-----------|----------|
| 1 | 6.3 | -90.0 | 1900 | 386 | 0.500 | 24.0 | 0.00027 (0.00027) | 0.104 | -0.162740 | -0.008832 | 0.000000 |
| 2 | 0.4 | 2.0 | 0 | 0 | ---- | ---- | ---- | 0.000 | 0.011331 | -0.000039 | 0.000000 |

Long-term results: Stresses - Crack width - Section Strain

| Comb. | Check | Sc max | Ss min | Ac eff | sr max | k2 | Ø | e sm - e cm | wk | e B | Cx | Cy |
|-------|-------|-----------|-------------|--------|--------|-------|------|-------------------|-------|----------|-----------|----------|
| 1 | OK | 3.6(18.0) | -92.6(-360) | 1900 | 386 | 0.500 | 24.0 | 0.00028 (0.00028) | 0.107 | 0.167899 | -0.011246 | 0.000000 |
| 2 | OK | 0.3(18.0) | 46.1(-360) | 0 | 0 | ---- | ---- | ---- | 0.000 | 0.253264 | -0.000697 | 0.000000 |

SLS QUASI-PERMANENT COMBINATIONS

Short-term results: Stresses - Crack width - Section Strain

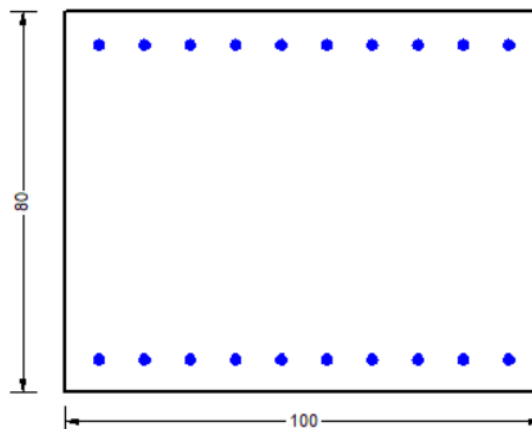
| Comb. | Sc max | Ss min | Ac eff | sr max | k2 | Ø | e sm - e cm | wk | e B | Cx | Cy |
|-------|--------|--------|--------|--------|-------|------|-------------------|-------|-----------|-----------|----------|
| 1 | 4.8 | -64.4 | 1850 | 381 | 0.500 | 24.0 | 0.00019 (0.00019) | 0.074 | -0.112641 | -0.006444 | 0.000000 |
| 2 | 0.5 | 1.1 | 0 | 0 | ---- | ---- | ---- | 0.000 | 0.010433 | -0.000153 | 0.000000 |

Long-term results: Stresses - Crack width - Section Strain

| Comb. | Check | Sc max | Ss min | Ac eff | sr max | k2 | Ø | e sm - e cm | wk | e B | Cx | Cy |
|-------|-------|-----------|-------------|--------|--------|-------|------|-------------------|-------|----------|-----------|----------|
| 1 | OK | 2.8(13.5) | -65.8(-360) | 1850 | 381 | 0.500 | 24.0 | 0.00020 (0.00020) | 0.075 | 0.076768 | -0.012489 | 0.000000 |
| 2 | OK | 0.4(13.5) | 43.5(-360) | 0 | 0 | ---- | ---- | ---- | 0.000 | 0.250736 | -0.001026 | 0.000000 |

10.3 Verifica piedritti

Si adottano spille 9Ø10/mq



MATERIALS DATA

CONCRETE -

Class:
Design compressive strength fcd:

C30/37
20.0 MPa

Relazione di calcolo Portale di prolungamento

| COMMESSA | LOTTO | CODIFICA | DOCUMENTO | REV. | FOGLIO |
|----------|-------|----------|--------------|------|----------|
| IN1A | 20 | D26CL | SL 07 00 001 | A | 48 di 52 |

| | | |
|---|--------------------|--------------------|
| Shear reduced compressive strenght $v1*fcd$: | 10.6 | MPa (6.9)EC2 |
| Coeff Crd,c: | 0.1200 | (§ 6.2.2(1) EC2 |
| Coeff K1: | 0.1500 | (§ 6.2.2(1) EC2 |
| Coeff v min: | 0.0091 | Mpa(§ 6.2.2(1) EC2 |
| Strain at max strength ec2: | 0.0020 | |
| Ultimate strain ecu: | 0.0035 | |
| Compression diagram stress-strain: | Parabola-Rettangle | |
| Mean Elastic Modulus Ecm: | 32836.6 | MPa |
| Mean tensile strength fctm: | 2.9 | MPa |
| Creep coeff.: | 2.50 | |
| Shrinkage coeff.: | 0.00025 | |
| Ageing Coeff.: | 0.800 | |

| | | | |
|---------|----------------------------------|----------|-----|
| STEEL - | Longitudinal Bars and Stirrups: | B450C | |
| | Characteristic yield stress fyk: | 450.00 | MPa |
| | Tensile strength ftk: | 450.0 | MPa |
| | Design yield stress fyd: | 391.3 | MPa |
| | Design strength ftd: | 391.3 | MPa |
| | Design ultimate strain esu: | 0.068 | |
| | Mean elastic modulus Es: | 200000.0 | MPa |

GEOMETRICAL DATA OF CONCRETE CROSS-SECTION

| | |
|------------------|-----------|
| Shape of Region: | Polygonal |
| Concrete Class: | C30/37 |

| Vertex N.: | X [cm] | Y [cm] |
|------------|--------|--------|
| 1 | -50.0 | 0.0 |
| 2 | -50.0 | 80.0 |
| 3 | 50.0 | 80.0 |
| 4 | 50.0 | 0.0 |

DATA ISOLATED LONGITUDINAL BARS

| Bar N. | X [cm] | Y [cm] | DiamØ[mm] |
|--------|--------|--------|-----------|
| 1 | -43.0 | 7.0 | 22 |
| 2 | -43.0 | 73.0 | 22 |
| 3 | 43.0 | 73.0 | 22 |
| 4 | 43.0 | 7.0 | 22 |

DATA OF LINEAR GENERATIONS OF LONGITUDINAL BARS

| | |
|---------------|--|
| N. Gen. | Number of generated bars of the current linear generation |
| N.Initial Bar | Order number of initial bar (between the isolated bars just defined) |
| N.Final Bar | Order number of final bar (between the isolated bars just defined) |
| N. Bars | Number of bars generated equidistant in the current generation |
| Ø | Diameter [mm] of generated bars |

| Gen.N. | Initial Bar | Final Bar | N. Bars | Ø |
|--------|-------------|-----------|---------|----|
| 1 | 2 | 3 | 8 | 22 |
| 2 | 1 | 4 | 8 | 22 |

ULTIMATE LIMIT STATE - ASSIGNED DESIGN FORCES FOR EACH COMBINATION

| | |
|------|--|
| MX d | Design bending force [kNm] around X axis of reference system |
| VY d | Design shear component [kN] parallel to Y reference axis |

| Comb. | N d | Mx d | Vy d |
|-------|-----|------|------|
|-------|-----|------|------|

Relazione di calcolo Portale di prolungamento

| COMMESSA | LOTTO | CODIFICA | DOCUMENTO | REV. | FOGLIO |
|----------|-------|----------|--------------|------|----------|
| IN1A | 20 | D26CL | SL 07 00 001 | A | 49 di 52 |

| | | | |
|---|--------|---------|--------|
| 1 | 481.61 | -766.78 | 429.81 |
| 2 | 419.99 | 463.98 | 429.81 |
| 3 | 463.70 | 723.28 | 486.95 |
| 4 | 716.17 | -909.13 | 486.95 |

SERVICEABILITY LIMIT STATES - CHARACTERISTIC COMB. - ASSIGNED INTERNAL FORCES FOR EACH COMBINATION

N Axial force [kN] applied at the centroid of concrete section (+ if compressive)
MX Bending force [kNm] around X axis of reference system. First cracking value is shown between brackets.

| Comb. | N | Mx | My |
|-------|--------|---------|------|
| 1 | 371.91 | -523.09 | 0.00 |
| 2 | 282.81 | 185.57 | 0.00 |
| 3 | 372.27 | 404.78 | 0.00 |
| 4 | 471.27 | -606.84 | 0.00 |

SERVICEABILITY LIMIT STATES - FREQUENT COMB. - ASSIGNED INTERNAL FORCES FOR EACH COMBINATION

N Axial force [kN] applied at the centroid of concrete section (+ if compressive)
MX Bending force [kNm] around X axis of reference system. First cracking value is shown between brackets.

| Comb. | N | Mx | My |
|-------|--------|-------------------|-------------|
| 1 | 366.04 | -512.00 (-274.32) | 0.00 (0.00) |
| 2 | 276.94 | 195.69 (675.83) | 0.00 (0.00) |
| 3 | 348.50 | 371.06 (547.76) | 0.00 (0.00) |
| 4 | 447.50 | -579.98 (-267.99) | 0.00 (0.00) |

SERVICEABILITY LIMIT STATES - QUASI-PERMANENT COMB. - ASSIGNED INTERNAL FORCES FOR EACH COMBINATION

N Axial force [kN] applied at the centroid of concrete section (+ if compressive)
MX Bending force [kNm] around X axis of reference system. First cracking value is shown between brackets.

| Comb. | N | Mx | My |
|-------|--------|-------------------|-------------|
| 1 | 358.32 | -481.05 (-270.99) | 0.00 (0.00) |
| 2 | 259.32 | 226.07 (601.17) | 0.00 (0.00) |
| 3 | 277.21 | 269.91 (569.89) | 0.00 (0.00) |
| 4 | 376.21 | -499.40 (-270.04) | 0.00 (0.00) |

CHECKS RESULTS

Checks OK for all assigned combinations

| | | |
|---|-----|----|
| Min edge cover of longitudinal bars: | 5.9 | cm |
| Min distance between longitudinal bars: | 7.4 | cm |
| Min edge cover of stirrups: | 5.1 | cm |

ULTIMATE LIMIT STATES - N-MX-MY CAPACITY CHECKS

| Check | Result of check |
|--------|---|
| N | Design axial force [kN] applied at the centroid of concrete section (+ if compressive) |
| Mx | Design bending moment [kNm] around x axis principal of inerzia |
| N ult | Axial force capacity [kN] (+ if compressive) |
| Mx ult | Bending moment capacity [kNm] around x axis principal of inertia |
| S.F. | Safety Factor = vectorial ratio of (N ult,Mx ult,My ult) to (N,Mx,My). Check OK if ratio >=1.00 |

| Comb. | Check | N | Mx | N ult | Mx ult | S.F. |
|-------|-------|---|----|-------|--------|------|
|-------|-------|---|----|-------|--------|------|

Relazione di calcolo Portale di prolungamento

| COMMESSA | LOTTO | CODIFICA | DOCUMENTO | REV. | FOGLIO |
|----------|-------|----------|--------------|------|----------|
| IN1A | 20 | D26CL | SL 07 00 001 | A | 50 di 52 |

| | | | | | | |
|---|----|--------|---------|--------|----------|-------|
| 1 | OK | 481.61 | -766.78 | 481.75 | -1188.28 | 1.550 |
| 2 | OK | 419.99 | 463.98 | 420.24 | 1168.04 | 2.517 |
| 3 | OK | 463.70 | 723.28 | 463.87 | 1182.41 | 1.635 |
| 4 | OK | 716.17 | -909.13 | 716.41 | -1265.13 | 1.392 |

ULTIMATE LIMIT STATE - BENDING AND AXIAL FORCE - STRAIN VALUES

| | |
|--------|--|
| ec max | Ultimate compressive strain in concrete |
| ec* | Strain in the concrete fiber at ec2/ecu of depth (if ec*>0 then the section is all compressed) |
| Xc max | X-coordinate [cm] in the concrete point in wich is ec max |
| Yc max | Y-coordinate [cm] in the concrete point in wich is ec max |
| es max | Max strain in steel bars (+ if compressive) |
| Xs max | X-coordinate [cm] of bar in wich is es max |
| Ys max | Y-coordinate [cm] of bar in wich is es max |
| es min | Min strain in steel bars (+ if compressive) |
| Xs min | X-coordinate [cm] of bar in wich is es min |
| Ys min | Y-coordinate [cm] of bar in wich is es min |

| Comb. | ec max | ec* | Xc max | Yc max | es max | Xs max | Ys max | es min | Xs min | Ys min |
|-------|---------|----------|--------|--------|---------|--------|--------|----------|--------|--------|
| 1 | 0.00350 | -0.01013 | -50.0 | 0.0 | 0.00072 | -43.0 | 7.0 | -0.02553 | -43.0 | 73.0 |
| 2 | 0.00350 | -0.01037 | -50.0 | 80.0 | 0.00067 | -43.0 | 73.0 | -0.02604 | -43.0 | 7.0 |
| 3 | 0.00350 | -0.01020 | -50.0 | 80.0 | 0.00070 | -43.0 | 73.0 | -0.02567 | -43.0 | 7.0 |
| 4 | 0.00350 | -0.00926 | -50.0 | 0.0 | 0.00090 | -43.0 | 7.0 | -0.02366 | -43.0 | 73.0 |

ULTIMATE LIMIT STATE - POSITION OF NEUTRAL AXIS FOR EACH COMBINATION

| | |
|---------|--|
| a, b, c | Coeff. a, b, c in neutral axis equation: aX+bY+c=0 reference X,Y,O |
| x/d | Ratio of the depth of neutral axis to the effective depth of the section |
| D | Ratio of redistributed moment to the elastic moment in continuous beams [eq.(5.10)EC2] |

| Comb. | a | b | c | x/d | D |
|-------|-------------|--------------|--------------|------|------|
| 1 | 0.000000000 | -0.000397626 | 0.003500000 | ---- | ---- |
| 2 | 0.000000000 | 0.000404656 | -0.028872444 | ---- | ---- |
| 3 | 0.000000000 | 0.000399553 | -0.028464257 | ---- | ---- |
| 4 | 0.000000000 | -0.000372114 | 0.003500000 | ---- | ---- |

ULTIMATE LIMIT STATES - SHEAR CHECKS

| | |
|---------|--|
| Check | Result of check |
| Ved | Design Shear Vy [kN] orthogonal to neutral axis |
| Vrd,max | Shear resistance [kN] by concrete diagonal struts [(6.9) EC2] |
| Vrd,s | Shear resistance [kN] by stirrups [(6.8) EC2] |
| Zm | Main weighted inner lever arm [cm] of strips orthogonal to neutral axis: are not included strips without an extreme compressed. The weights are constituted by the length of lever arm for each strips. |
| Dm | Main weighted effective depth [cm] of strips orthogonal to neutral axis. |
| bw | Mean weighted shear width [cm] misurate parallel to the neutral axis = = ratio of area of resistant strips to Zmed value |
| Ctg | Cot of angle between the inclined concrete struts and beam axis (§6.2.3(1) EC2) |
| Ast | Area of hoops+cross-ties strictly necessary for shear force[cm ² /m] |
| A.Eff | Effective Area of hoops+cross-ties in the shear direction in current comb. [cm ² /m] |

| Comb. | Check | Ved | Vrd,max | Vrd,s | Zm Dm | bw | Ctg | Ast | A.Eff |
|-------|-------|--------|---------|--------|-----------|-------|------|-----|-------|
| 1 | OK | 429.81 | 2530.01 | 491.58 | 69.5 77.2 | 100.0 | 2.50 | 6.3 | 7.2 |
| 2 | OK | 429.81 | 2532.23 | 492.01 | 69.5 77.3 | 100.0 | 2.50 | 6.3 | 7.2 |
| 3 | OK | 486.95 | 2530.63 | 491.70 | 69.5 77.2 | 100.0 | 2.50 | 7.2 | 7.2 |
| 4 | OK | 486.95 | 2521.22 | 489.87 | 69.2 76.9 | 100.0 | 2.50 | 7.2 | 7.2 |

SLS CHARACTERISTIC COMBINATIONS

| | |
|-------------|---|
| Check | Result of check |
| Sc max | Max compressive stress (+) in concrete [Mpa]. Limit value is shown between brackets. |
| Ss min | Min tension stress in long. bars [Mpa]. Limit value is shown between brackets. |
| Ac eff | Effective tension area [cm ²] = area of concrete surrounding the tension reinforcement (for crack control) |
| sr max | Max final crack spacing [mm] |
| k1 | = 0.8 high bond bars assigned [see eq.(7.11) EC2] |
| kt | = 0.6 for charact. and frequent SLS; = 0.4 for q.perm SLS (Factor dependent on the duration of the load [see eq.(7.9)] EC2) |
| k2 | = 0.5 for bending; $= (e1 + e2)/(2 \cdot e1)$ for eccentric tension [see eq.(7.13) EC2] |
| k3 | = 3.400 Coeff. in eq. (7.11) according to national annex |
| k4 | = 0.425 Coeff. in eq. (7.11) according to national annex |
| Ø | Bar diameter [mm] or equivalent diameter of tensile bars in Ac eff [eq.(7.11)] |
| e sm - e cm | Difference between the mean strain of tensile steel and concrete under the relevant combination [eq.(7.8)] Between brackets: Minimum value of eq.(7.9) = 0.6 Smax / Es |
| wk | Calculated value[mm] of crack width = sr max *(e sm - e cm) [eq.(7.8)EC2] |
| e B | Strain x1000 in the concrete centroid B (+ if shortening) |
| Cx | Curvature x 1000 [1/cm] around x axis principal of inertia |
| Cy | Curvature x 1000 [1/cm] around y axis principal of inertia |

Short-term results: Stresses - Crack width - Section Strain

| Comb. | Sc max | Ss min | Ac eff | sr max | k2 | Ø | e sm - e cm | wk | e B | Cx | Cy |
|-------|--------|--------|--------|--------|-------|------|-------------------|-------|-----------|-----------|----------|
| 1 | 8.9 | -157.1 | 1750 | 373 | 0.500 | 22.0 | 0.00047 (0.00047) | 0.176 | -0.134579 | -0.008482 | 0.000000 |
| 2 | 3.1 | -38.4 | 1750 | 373 | 0.500 | 22.0 | 0.00012 (0.00012) | 0.043 | -0.062146 | 0.003929 | 0.000000 |
| 3 | 6.9 | -111.5 | 1750 | 373 | 0.500 | 22.0 | 0.00033 (0.00033) | 0.125 | -0.076048 | 0.005758 | 0.000000 |
| 4 | 10.4 | -177.5 | 1750 | 373 | 0.500 | 22.0 | 0.00053 (0.00053) | 0.198 | -0.196162 | -0.011329 | 0.000000 |

Long-term results: Stresses - Crack width - Section Strain

| Comb. | Check | Sc max | Ss min | Ac eff | sr max | k2 | Ø | e sm - e cm | wk | e B | Cx | Cy |
|-------|-------|-----------|--------------|--------|--------|-------|------|-------------------|-------|-----------|-----------|----------|
| 1 | OK | 4.2(18.0) | -161.0(-360) | 1750 | 373 | 0.500 | 22.0 | 0.00048 (0.00048) | 0.180 | 0.000782 | -0.018327 | 0.000000 |
| 2 | OK | 1.4(18.0) | -36.3(-360) | 1750 | 373 | 0.500 | 22.0 | 0.00011 (0.00011) | 0.041 | 0.093786 | 0.008347 | 0.000000 |
| 3 | OK | 3.2(18.0) | -113.8(-360) | 1750 | 373 | 0.500 | 22.0 | 0.00034 (0.00034) | 0.127 | 0.113669 | 0.012219 | 0.000000 |
| 4 | OK | 5.0(18.0) | -182.3(-360) | 1750 | 373 | 0.500 | 22.0 | 0.00055 (0.00055) | 0.204 | -0.031794 | -0.021620 | 0.000000 |

SLS FREQUENT COMBINATIONS

Short-term results: Stresses - Crack width - Section Strain

| Comb. | Sc max | Ss min | Ac eff | sr max | k2 | Ø | e sm - e cm | wk | e B | Cx | Cy |
|-------|--------|--------|--------|--------|-------|------|-------------------|-------|-----------|-----------|----------|
| 1 | 8.7 | -153.5 | 1750 | 373 | 0.500 | 22.0 | 0.00046 (0.00046) | 0.172 | -0.123768 | -0.008030 | 0.000000 |
| 2 | 3.3 | -42.8 | 1750 | 373 | 0.500 | 22.0 | 0.00013 (0.00013) | 0.048 | -0.071711 | 0.004309 | 0.000000 |
| 3 | 6.3 | -101.3 | 1750 | 373 | 0.500 | 22.0 | 0.00030 (0.00030) | 0.113 | -0.190373 | 0.009584 | 0.000000 |
| 4 | 9.9 | -170.0 | 1750 | 373 | 0.500 | 22.0 | 0.00051 (0.00051) | 0.190 | -0.174961 | -0.010383 | 0.000000 |

Long-term results: Stresses - Crack width - Section Strain

| Comb. | Check | Sc max | Ss min | Ac eff | sr max | k2 | Ø | e sm - e cm | wk | e B | Cx | Cy |
|-------|-------|-----------|--------------|--------|--------|-------|------|-------------------|-------|-----------|-----------|----------|
| 1 | OK | 4.1(18.0) | -157.3(-360) | 1750 | 373 | 0.500 | 22.0 | 0.00047 (0.00047) | 0.176 | 0.008273 | -0.017825 | 0.000000 |
| 2 | OK | 1.5(18.0) | -41.3(-360) | 1750 | 373 | 0.500 | 22.0 | 0.00012 (0.00012) | 0.046 | 0.084138 | 0.008803 | 0.000000 |
| 3 | OK | 2.9(18.0) | -103.2(-360) | 1750 | 373 | 0.500 | 22.0 | 0.00031 (0.00031) | 0.115 | 0.143317 | 0.010458 | 0.000000 |
| 4 | OK | 4.8(18.0) | -174.5(-360) | 1750 | 373 | 0.500 | 22.0 | 0.00052 (0.00052) | 0.195 | -0.019028 | -0.020528 | 0.000000 |

SLS QUASI-PERMANENT COMBINATIONS

Relazione di calcolo Portale di prolungamento

| COMMESSA | LOTTO | CODIFICA | DOCUMENTO | REV. | FOGLIO |
|----------|-------|----------|--------------|------|----------|
| IN1A | 20 | D26CL | SL 07 00 001 | A | 52 di 52 |

Short-term results: Stresses - Crack width - Section Strain

| Comb. | Sc max | Ss min | Ac eff | sr max | k2 | Ø | e sm - e cm | wk | e B | Cx | Cy |
|-------|--------|--------|--------|--------|-------|------|-------------------|-------|-----------|-----------|----------|
| 1 | 8.2 | -142.5 | 1750 | 373 | 0.500 | 22.0 | 0.00043 (0.00043) | 0.159 | -0.103179 | -0.007118 | 0.000000 |
| 2 | 3.8 | -56.3 | 1750 | 373 | 0.500 | 22.0 | 0.00017 (0.00017) | 0.063 | -0.101149 | 0.005459 | 0.000000 |
| 3 | 4.6 | -70.9 | 1750 | 373 | 0.500 | 22.0 | 0.00021 (0.00021) | 0.079 | -0.130915 | 0.006779 | 0.000000 |
| 4 | 8.5 | -147.4 | 1750 | 373 | 0.500 | 22.0 | 0.00044 (0.00044) | 0.165 | -0.106769 | -0.007387 | 0.000000 |

Long-term results: Stresses - Crack width - Section Strain

| Comb. | Check | Sc max | Ss min | Ac eff | sr max | k2 | Ø | e sm - e cm | wk | e B | Cx | Cy |
|-------|-------|-----------|--------------|--------|--------|-------|------|-------------------|-------|----------|-----------|----------|
| 1 | OK | 3.8(13.5) | -145.9(-360) | 1750 | 373 | 0.500 | 22.0 | 0.00044 (0.00044) | 0.163 | 0.033197 | -0.016339 | 0.000000 |
| 2 | OK | 1.7(13.5) | -55.9(-360) | 1750 | 373 | 0.500 | 22.0 | 0.00017 (0.00017) | 0.063 | 0.055925 | 0.010167 | 0.000000 |
| 3 | OK | 2.0(13.5) | -71.4(-360) | 1750 | 373 | 0.500 | 22.0 | 0.00021 (0.00021) | 0.080 | 0.033695 | 0.011841 | 0.000000 |
| 4 | OK | 4.0(13.5) | -151.1(-360) | 1750 | 373 | 0.500 | 22.0 | 0.00045 (0.00045) | 0.169 | 0.023133 | -0.017133 | 0.000000 |

10.4 Tabella riepilogativa incidenza ferri

| | Inc. Armature [kg/mc] |
|---------|--------------------------|
| portale | 120 |

(per il quantitativo di armatura secondaria si assume il 20% di quella principale; si aggiunge al quantitativo di armatura principale e secondaria un 15% per sovrapposizioni/legature)

11 VERIFICA FONDAZIONE

Data la presenza del rilevato (fondazione compensata) non possono instaurarsi meccanismi di collasso, pertanto la verifica risulta non necessaria.